

表 2. 2. 2-4 地盤定数の設定結果

(a) Ss-1

G.L. (m)	地質	せん断波 速度 Vs (m/s)	単位体積 重量 γ (kN/m ³)	ポアソン 比 ν	せん断 弾性係数 G ($\times 10^5$ kN/m ²)	初期せん断 弾性係数 G ₀ ($\times 10^5$ kN/m ²)	剛性 低下率 G/G ₀	ヤング 係数 E ($\times 10^5$ kN/m ²)	減衰 定数 h (%)	層厚 H (m)
±0	改良地盤	800	17.7	0.310	11.43	11.52	0.99	29.94	2	12.0
-12.0	泥岩	450	16.5	0.464	2.97	3.41	0.87	8.70	3	8.0
-20.0		500	17.1	0.455	3.59	4.36	0.82	10.44	3	70.0
-90.0		560	17.6	0.446	4.60	5.63	0.82	13.31	3	28.0
-118.0		600	17.8	0.442	5.29	6.53	0.81	15.25	3	88.0
-206.0	(解放基盤)	700	18.5	0.421	9.24	9.24	1.00	26.26	-	-

(b) Ss-2

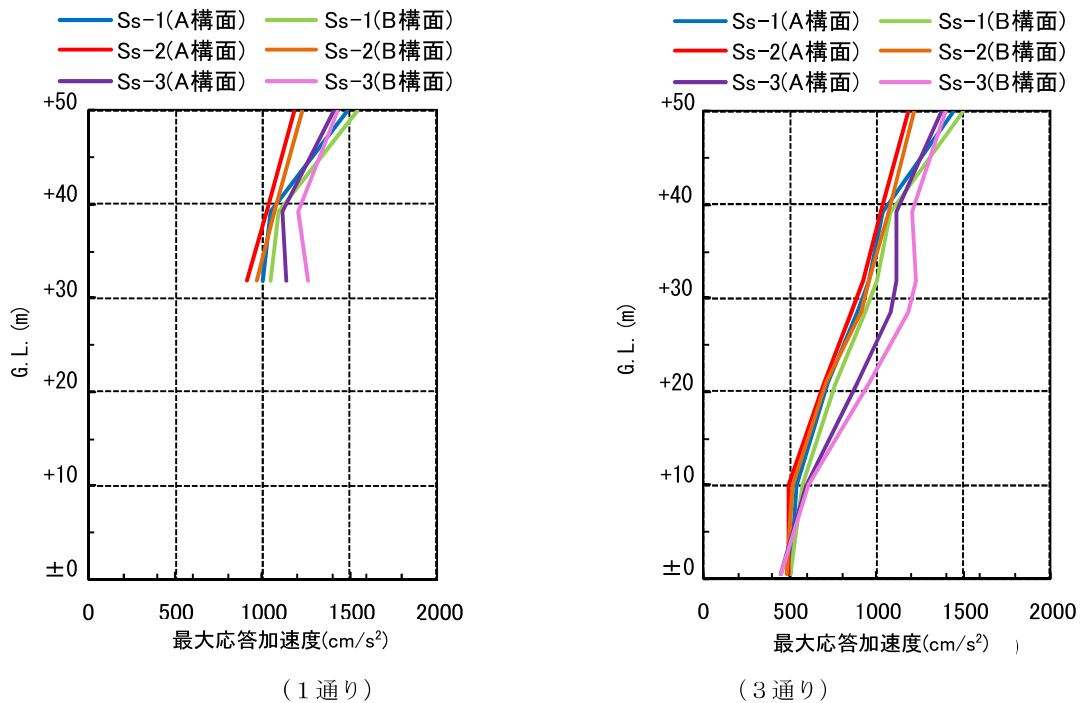
G.L. (m)	地質	せん断波 速度 Vs (m/s)	単位体積 重量 γ (kN/m ³)	ポアソン 比 ν	せん断 弾性係数 G ($\times 10^5$ kN/m ²)	初期せん断 弾性係数 G ₀ ($\times 10^5$ kN/m ²)	剛性 低下率 G/G ₀	ヤング 係数 E ($\times 10^5$ kN/m ²)	減衰 定数 h (%)	層厚 H (m)
±0	改良地盤	800	17.7	0.310	11.43	11.52	0.99	29.94	2	12.0
-12.0	泥岩	450	16.5	0.464	2.98	3.41	0.87	8.72	3	8.0
-20.0		500	17.1	0.455	3.59	4.36	0.82	10.45	3	70.0
-90.0		560	17.6	0.446	4.62	5.63	0.82	13.36	3	28.0
-118.0		600	17.8	0.442	5.50	6.53	0.84	15.85	3	88.0
-206.0	(解放基盤)	700	18.5	0.421	9.24	9.24	1.00	26.26	-	-

(c) Ss-3

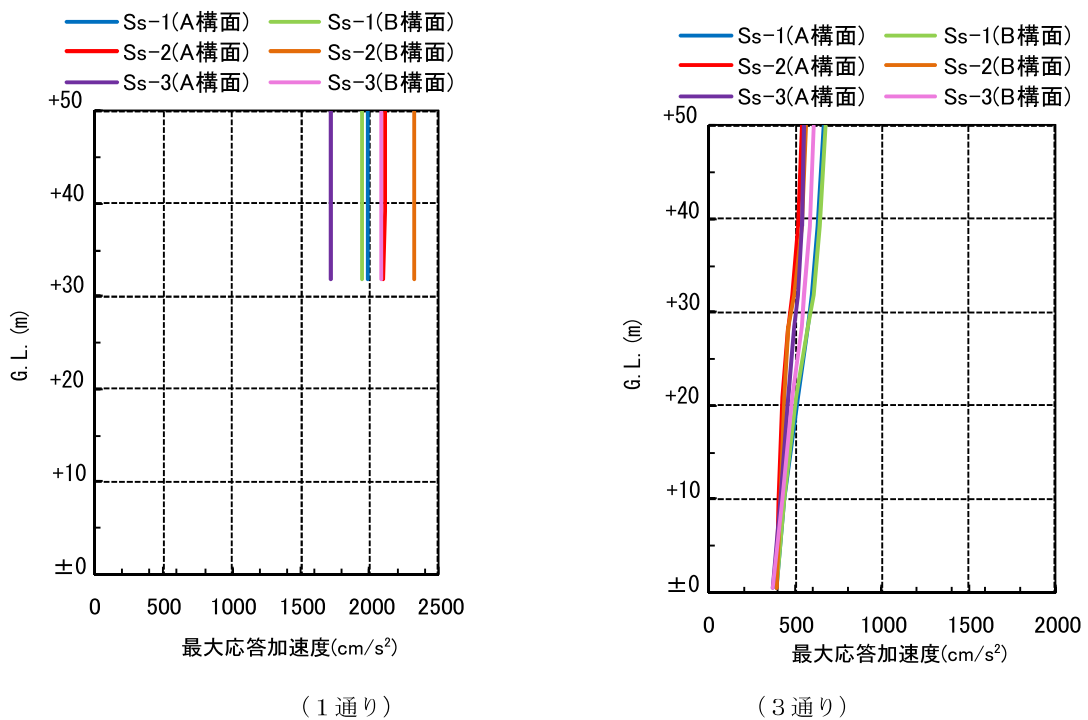
G.L. (m)	地質	せん断波 速度 Vs (m/s)	単位体積 重量 γ (kN/m ³)	ポアソン 比 ν	せん断 弾性係数 G ($\times 10^5$ kN/m ²)	初期せん断 弾性係数 G ₀ ($\times 10^5$ kN/m ²)	剛性 低下率 G/G ₀	ヤング 係数 E ($\times 10^5$ kN/m ²)	減衰 定数 h (%)	層厚 H (m)
±0	改良地盤	800	17.7	0.310	11.44	11.52	0.99	29.98	2	12.0
-12.0	泥岩	450	16.5	0.464	3.00	3.41	0.88	8.79	3	8.0
-20.0		500	17.1	0.455	3.53	4.36	0.81	10.27	3	70.0
-90.0		560	17.6	0.446	4.52	5.63	0.80	13.07	3	28.0
-118.0		600	17.8	0.442	4.97	6.53	0.76	14.34	3	88.0
-206.0	(解放基盤)	700	18.5	0.421	9.24	9.24	1.00	26.26	-	-

3) 地震応答解析結果

地震応答解析は水平方向と鉛直方向を同時入力した。最大応答加速度を図 2. 2. 2-6 及び図 2. 2. 2-7 に示す。

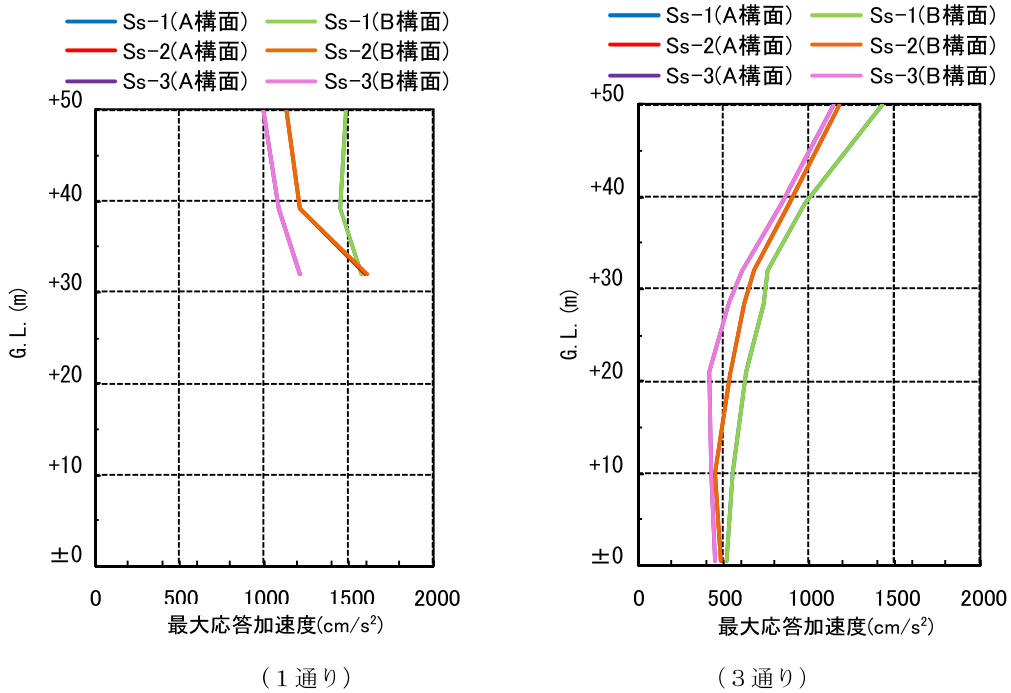


(a) 最大応答加速度 (水平(NS)成分)

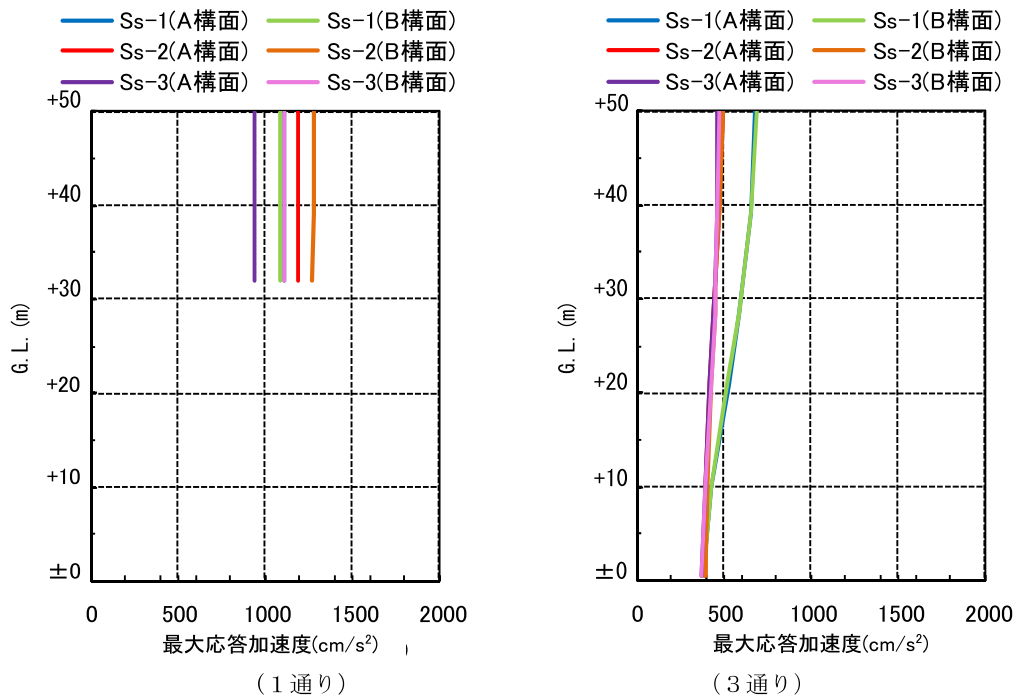


(b) 最大応答加速度 (鉛直成分)

図 2. 2. 2-6 最大応答加速度 (NS 方向入力時)



(a) 最大応答加速度 (水平(EW)成分)



(b) 最大応答加速度 (鉛直成分)

図 2. 2. 2-7 最大応答加速度 (EW 方向入力時)

4) 波及的影響の評価

地震応答解析結果が、JSCA 性能メニュー（社団法人日本建築構造技術者協会，2002 年）を参考に定めたクライテリア（「層間変形角は 1/75 以下，層の塑性率は 4 以下，部材の塑性率は 5 以下」*1 及びせん断力はせん断耐力以下）を満足することを確認する。

なお，解析結果が「時刻歴応答解析建築物性能評価業務方法書」（財団法人日本建築センター，平成 19 年 7 月 20 日）に示されるクライテリア（層間変形角は 1/100 以下，層の塑性率は 2 以下，部材の塑性率は 4 以下）を超える場合には水平変形に伴う鉛直荷重の付加的影響を考慮した解析を実施し，安全性を確認する。

*1：北村春幸，宮内洋二，浦本弥樹「性能設計における耐震性能判断基準値に関する研究」，日本建築学会構造系論文集，第 604 号，2006 年 6 月

・ 層間変形角の検討

層間変形の評価はクレーン支持用架構の剛心位置で評価し，表 2.2.2-5 に検討結果を示す。

検討の結果，層間変形角は 1/75 以下となりクライテリアを満足することを確認した。

表 2.2.2-5 層間変形角の検討結果

検討箇所	最大応答値						クライテリア	判定
	NS 方向入力時			EW 方向入力時				
	Ss-1	Ss-2	Ss-3	Ss-1	Ss-2	Ss-3		
6 階	1/256	1/278	1/229	1/298	1/356	1/352	1/75	OK
5 階	1/240	1/266	1/220	1/239	1/295	1/288	1/75	OK
4 階	1/228	1/249	1/225	1/207	1/243	1/252	1/75	OK
3 階	1/194	1/205	1/199	1/196	1/233	1/237	1/75	OK
2 階	1/206	1/211	1/194	1/187	1/224	1/229	1/75	OK
1 階	1/357	1/359	1/317	1/329	1/397	1/409	1/75	OK

・塑性率の検討

部材の塑性率は、最大応答曲げモーメント時の曲率を全塑性モーメントに至る時の曲率で除した値で表される。最大曲げモーメントが全塑性モーメント以下の場合は弾性であり塑性率は1以下となる。最大応答値を全塑性モーメントまたはせん断耐力で除した値を耐力比と定義し、表 2.2.2-6 に検討結果を示す。

表 2.2.2-6 より曲げモーメント及びせん断力については、全てのケースで耐力比が1を下回ることから塑性率は1以下となり、クライテリアを満足することを確認した。

表 2.2.2-6 耐力比の検討結果

部位	検討箇所	部材形状 (mm)	地震波	入力方向	耐力比		判定
柱	1階 3-B	B□-3000×3000 ×28×28	Ss-1	EW	M_z/M_{uz}	0.85	OK
					M_y/M_{uy}	0.86	
					Q_z/Q_{uz}	0.27	
					Q_y/Q_{uy}	0.37	
梁	4階 3/A-B	B□-3000×3000 ×25×25	Ss-1	EW	M_z/M_{uz}	0.80	OK
					M_y/M_{uy}	0.01	
					Q_z/Q_{uz}	0.00	
					Q_y/Q_{uy}	0.32	

M_z : 部材 z 軸回りの曲げモーメントの最大値

M_y : 部材 y 軸回りの曲げモーメントの最大値

Q_z : 部材 z 方向のせん断力の最大値

Q_y : 部材 y 方向のせん断力の最大値

M_{uz} : 部材 z 軸回りの全塑性モーメント

M_{uy} : 部材 y 軸回りの全塑性モーメント

Q_{uz} : 部材 z 軸方向のせん断耐力

Q_{uy} : 部材 y 軸方向のせん断耐力

(3) 基礎スラブの耐震性に対する検討

1) 解析モデル

基礎スラブの応力解析は、弾性地盤上に支持された版として有限要素法を用いて行う。解析モデルは、図 2.2.2-8 に示すように四辺形の均質等方な板要素により構成し、支持地盤は等価な弾性ばねとしてモデル化する。

検討は組合せ係数法にて行い、荷重組合せケースを表 2.2.2-7 に示す。

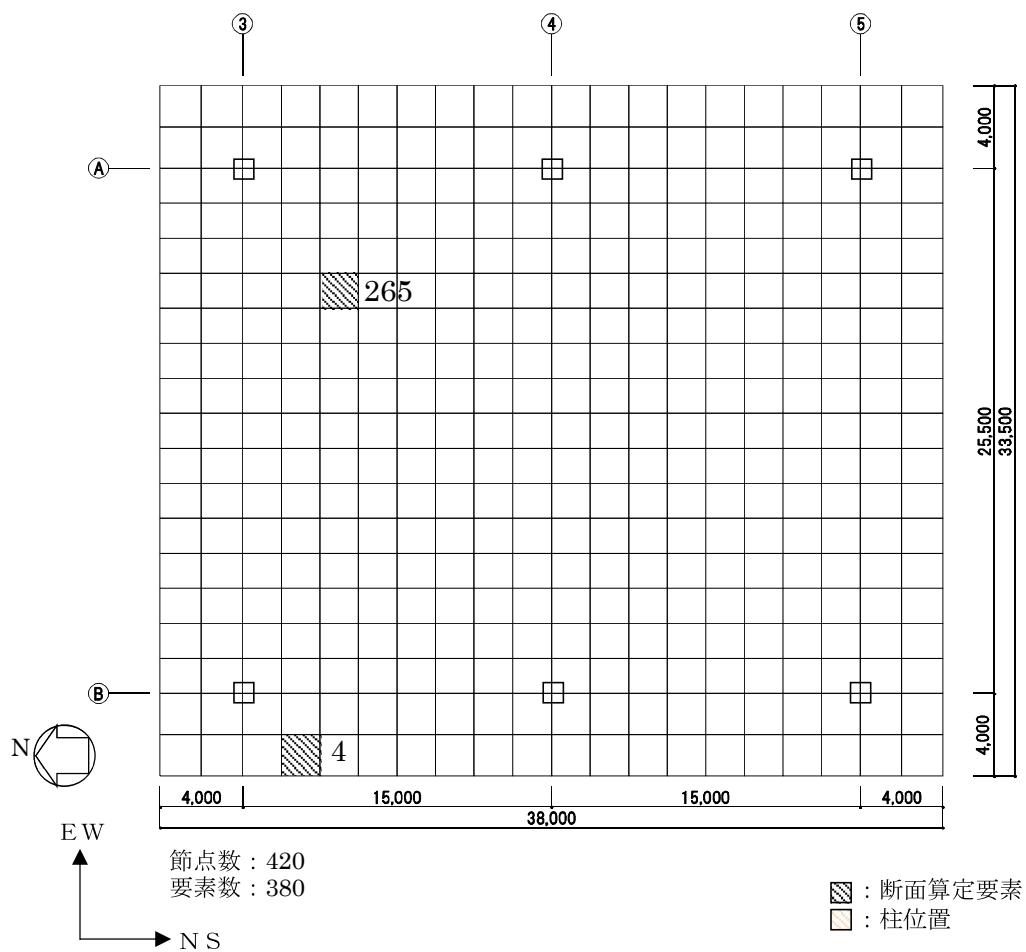


図 2.2.2-8 解析モデル図 (単位: mm)

表 2.2.2-7 荷重組合せケース一覧表

荷重ケース	地震力の作用方向					
	鉛直方向		水平方向			
	上向き	下向き	N→S	S→N	E→W	W→E
Dn		○	○			
Ds		○		○		
De		○			○	
Dw		○				○
Un	○		○			
Us	○			○		
Ue	○				○	
Uw	○					○

2) 断面検討

各要素に対して、検討用応力が部材の終局耐力を下回ることを確認する。曲げ終局強度及びせん断終局強度の算定は、「原子力施設鉄筋コンクリート構造計算規準・同解説」による柱の終局強度算定式に準拠する。なお、鉄筋の引張強度は、平成 12 年建設省告示第 2464 号に定められた基準強度の 1.1 倍を用いる。検討用曲げモーメントを曲げ終局強度で除した値が最大となる箇所及び検討用せん断力をせん断終局強度で除した値が最大となる箇所の基礎スラブの断面検討結果を表 2.2.2-8 に示す。

断面検討の結果、検討用曲げモーメントは曲げ終局強度を下回り、検討用せん断力はせん断終局強度を下回ることを確認した。

表 2.2.2-8 基礎スラブの断面検討結果

要素 番号	方向	荷重 ケース	検討用応力			設計配筋 上段：上端筋 [断面積 mm ² /m] (pt.%) 下段：下端筋 [断面積 mm ² /m] (pt.%)	部材の終局強度		M/M _u	Q/Q _u	判定
			N*1 (kN/m)	M (kN・m/m)	Q (kN/m)		M _u (kN・m/m)	Q _u (kN/m)			
4	NS	D e	129	1317	3958	D38@200+D38@400 [8550] (0.21) D38@200+D38@400 [8550] (0.21)	11995	6778	0.11	0.59	OK
	EW	D e	61	1415	1507	3-D38@200 [17100] (0.43) 2-D38@200 [11400] (0.29)	15772	7294	0.09	0.21	OK
265	NS	D s	24	3316	52	1-D38@200 [5700] (0.14) 1-D38@200 [5700] (0.14)	7873	2215	0.43	0.03	OK
	EW	D w	-349	4927	76	1-D38@200 [5700] (0.14) 1-D38@200 [5700] (0.14)	7267	2184	0.68	0.04	OK

*1：圧縮を正とする

(4) 改良地盤の耐震性に対する検討

1) 検討方針

検討は「JEAC 4616-2009」に準拠し、基準地震動 S_s により発生する荷重に対して許容限界を満足することを確認する。改良地盤の許容限界は、改良地盤の設計圧縮強度、せん断抵抗に対する安全率に基づき設定する。支持地盤の許容限界は、支持地盤の極限支持力に対する安全率に基づき設定する。

2) 地震応答解析モデル

応力算定用の地震応答解析モデルを図 2.2.2-9 に示す。改良地盤及び支持地盤の物性は表 2.2.2-4 を用いた。

周辺地盤の物性は、一次元波動論であらかじめ実施した等価線形解析結果をもとに改良地盤及び周辺地盤のひずみレベルに応じた等価なせん断剛性、減衰を設定した。

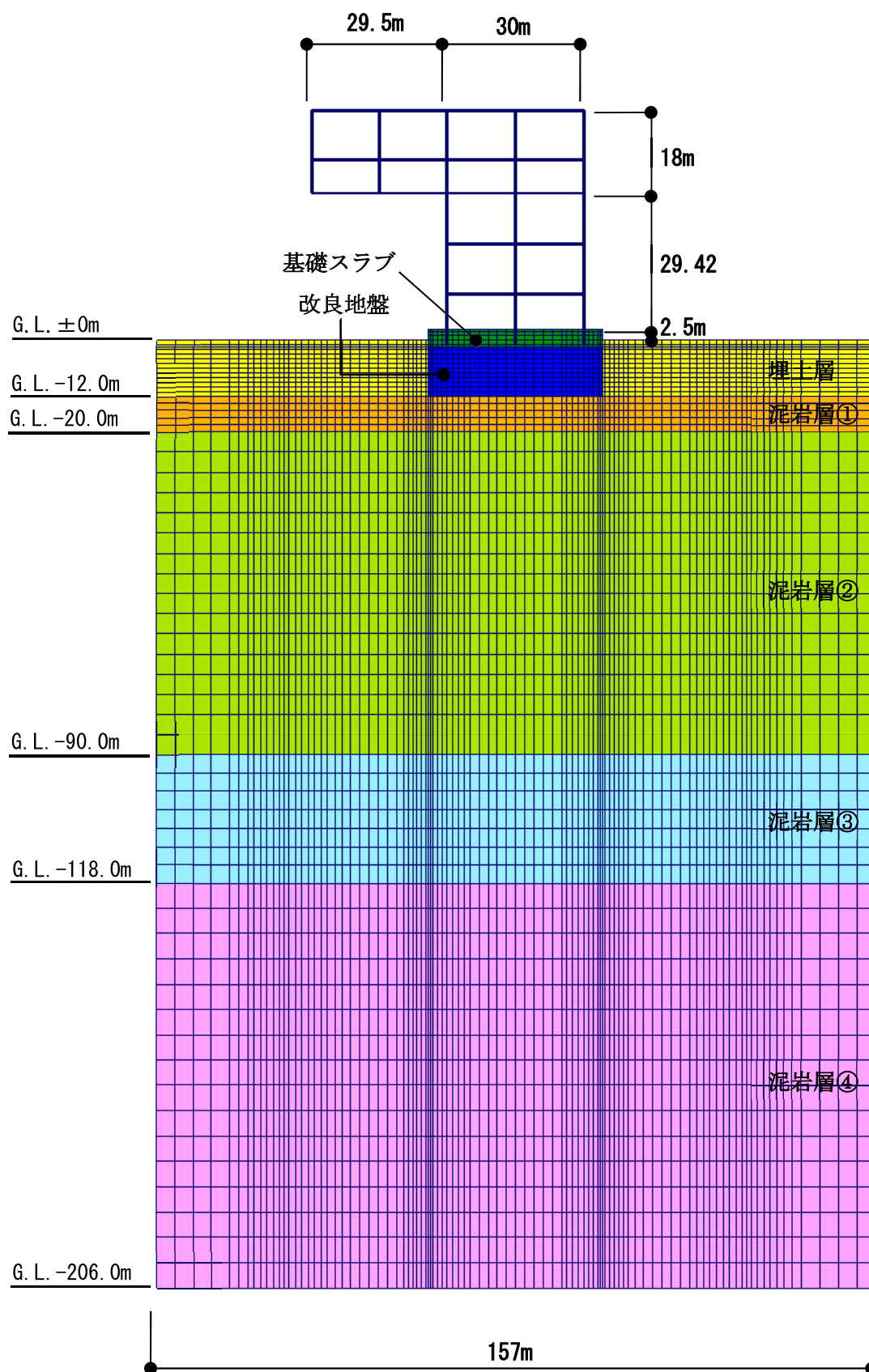


図 2.2.2-9 応力算定用地震応答解析モデル

3) 波及的影響の評価

改良地盤の評価は、「JEAC 4616-2009」に準じ、改良地盤に発生する最大応力が許容値に対して1.5以上の安全率を有していることを確認する。

・改良地盤に生じる鉛直応力に対する検討

改良地盤に作用する鉛直応力に対し改良地盤の圧縮強度の安全率が1.5以上であることを下式により確認する。

$$\frac{ssfsc}{\sigma_{y\max}} \geq 1.5$$

ここで、

ssfsc : 改良地盤の圧縮強度

$\sigma_{y\max}$: 有限要素解析による各要素の鉛直応力の最大値

改良地盤の圧縮強度(ssfsc)は、「JEAC 4616-2009」により改良地盤の圧縮強度の平均値である設計圧縮強度 4498kN/m² (断面欠損 2%を考慮する) を改良地盤の圧縮強度として検討を行う。

安全率の検討結果を表 2.2.2-9 に示す。検討結果より改良地盤の圧縮強度は改良地盤の基礎スラブ直下における最大鉛直応力の 1.5 以上の安全率を有していることを確認した。

表 2.2.2-9 改良地盤の鉛直応力に対する検討結果
(改良地盤底部)

地震波	最大鉛直応力 $\sigma_{y\max}$ (kN/m ²)	圧縮強度 ssfsc(kN/m ²)	安全率	クォリティ	判定
Ss-1	1809	4498	2.48	1.50	OK
Ss-2	1453	4498	3.09	1.50	OK
Ss-3	1821	4498	2.47	1.50	OK

・改良地盤に作用するせん断力に対する検討

検討は、改良地盤の基礎スラブ直下及び改良地盤下端のせん断力について行う。改良地盤上端及び下端にせん断面を想定し、各時刻 (t) における改良地盤に作用する水平方向せん断力 $F_H(t)$ と改良地盤の水平抵抗力 $F_R(t)$ を評価し、そのせん断に対する安全率 $F_s(t)$ が 1.5 以上であることを下式により確認する。

$$F_s(t) = \frac{F_R(t)}{F_H(t)} \geq 1.5$$

$$F_R(t) = \sum_i F_{Ri}(t) = \sum \tau_{Ri}(t) \cdot l_i$$

$$F_H(t) = \sum_i F_{Hi}(t) = \sum \tau_{Si}(t) \cdot l_i$$

- ここで、
- $F_s(t)$: せん断に対する安全率
 - $F_R(t)$: せん断面上の地盤の水平抵抗力 (kN)
 - $F_H(t)$: せん断面上の地盤のせん断力 (kN)
 - $\tau_{Ri}(t)$: せん断面の解析モデル要素 i のせん断抵抗力 (kN/m²)
 $\tau_{Ri}(t)$ は上載圧による強度増加は無視して設定し、せん断強度 ssf_{ss} を用いる。なお、せん断破壊及び鉛直方向応力が引張状態になった地盤要素は評価しない
 - $\tau_{Si}(t)$: せん断面の解析モデル要素 i に作用するせん断応力 (kN/m²)
 - l_i : 解析モデル要素 i を横切るせん断面の長さ(要素 i の長さ) (m)
 - ssf_{ss} : 改良地盤のせん断強度 (kN/m²)

改良地盤のせん断強度 (ssf_{ss}) は下式より設定する。

$$ssf_{ss} = \frac{1}{5} ssf_{sc}$$

- ここで、 ssf_{ss} : 688kN/m² (断面欠損 25%を考慮する)

安全率の検討結果を表 2.2.2-10 及び表 2.2.2-11 に示す。

検討結果より改良地盤の水平抵抗力は、改良地盤の基礎スラブ直下及び改良地盤下端の最大せん断力の 1.5 以上の安全率を有していることを確認した。なお、解析は二次元でモデル化しているため、単位長さ当りのせん断力及び水平抵抗力で検討する。

表 2.2.2-10 改良地盤のせん断力に対する検討
(基礎スラブ下端)

地震波	最大せん断力 F _H (kN/m)	水平抵抗力 F _R (kN/m)	安全率 F _s	クォイテリア	判定
Ss-1	3635	21156	5.82	1.50	OK
Ss-2	3052	22188	7.26	1.50	OK
Ss-3	3548	20640	5.81	1.50	OK

表 2.2.2-11 改良地盤のせん断力に対する検討
(改良地盤底部)

地震波	最大せん断力 F _H (kN/m)	水平抵抗力 F _R (kN/m)	安全率 F _s	クォイテリア	判定
Ss-1	7741	24080	3.11	1.50	OK
Ss-2	7481	24424	3.26	1.50	OK
Ss-3	6494	24080	3.70	1.50	OK

4) 支持力の検討

支持力の評価は、改良地盤底部における最大鉛直応力が支持地盤の極限支持力度に対して 1.5 以上の安全率を有していることを確認する。

$$\frac{R_u}{V} \geq 1.5$$

ここで、
R_u : 極限鉛直支持力度
V : 地震応答解析から得られる最大鉛直応力

検討の結果、支持地盤の極限支持力度 (6860kN/m²) *は改良地盤底部における最大鉛直応力の 1.5 以上の安全率を有していることを確認した。

*:「福島第一原子力発電所 原子炉設置変更許可申請書 (4号炉増設)」による

$$6860\text{kN/m}^2 / 1821\text{kN/m}^2 = 3.76 \geq 1.50 \dots \text{OK}$$

(5) 地盤アンカーの耐震性に対する検討

1) 検討方針

地盤アンカーは、図 2.2.2-10 に示すように基礎スラブ上端を緊張端とし、泥岩層 G.L. -17.0m 以深を定着長部としている。地盤アンカーの検討は基準地震動 S_s 時に自由長部に発生する応力が規格降伏耐力以下及び定着長部の設計定着長が必要定着長以上であることを確認する。検討は、旧建築基準法第 38 条の規定に基づく認定工法「STK 永久アンカー工法」（建設省阪住指発第 353 号，平成 8 年 10 月 16 日）における設計マニュアルに基づき実施する。

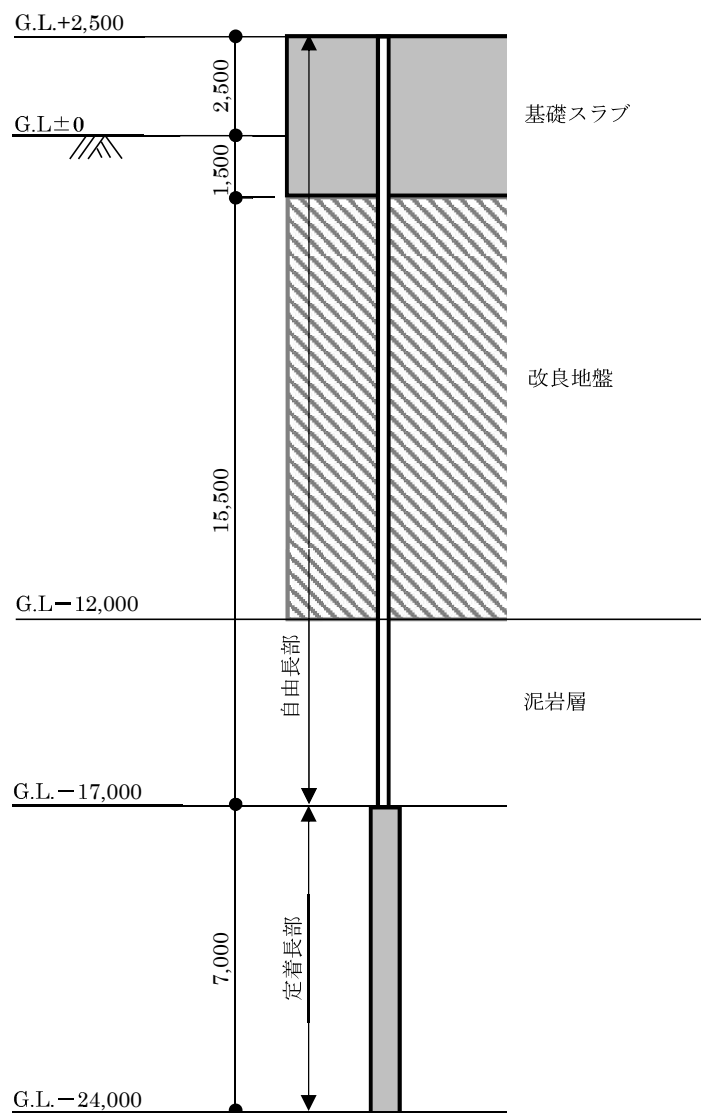


図 2.2.2-10 地盤アンカー設置計画 (単位：mm)

2) 地盤アンカーの検討

・自由長部の検討

地盤アンカーに発生する応力と規格降伏耐力を比較した結果を表 2.2.2-12 に示す。地盤アンカーは STK-200 (SWPR19 4-φ21.8)を用いる。

検討の結果、耐力比が 1 以下になることを確認した。

表 2.2.2-12 自由長部の検討結果

発生応力 T_{max} (kN/本)	規格降伏耐力 T_{ys} (kN/本)	耐力比 T_{max}/T_{ys}	判定
1590	1981	0.81	OK

・定着長部の検討

定着長部の検討は、地盤アンカーの規格降伏耐力と地盤の極限摩擦抵抗力から求める必要定着長が、設計定着長を下回ることを確認する。結果を表 2.2.2-13 に示す。

検討の結果、検定比が 1 以下になることを確認した。

$$L_a = \frac{T_{ys} \times F}{\tau_u \times \pi \times D_d}$$

ここで、

L_a : 必要定着長 (cm)

T_{ys} : 地盤アンカーの規格降伏耐力 (1981kN)

F : 安全率 (=1.0)

τ_u : 地盤の極限摩擦抵抗力 (N/cm²) (137N/cm²) *

*: 旧建築基準法第 38 条の規定に基づく認定工法「STK 永久アンカー工法」(建設省阪住指発第 353 号, 平成 8 年 10 月 16 日), 設計マニュアルより N 値 50 以上の泥岩の値

D_d : 地盤アンカー体の設計径 (17cm)

表 2.2.2-13 定着長の検討結果

必要定着長 L_a (cm)	設計定着長 L_d (cm)	検定比 L_a/L_d	判定
271	700	0.39	OK

2.3 燃料取扱機支持用架構の構造強度及び耐震性について

燃料取扱機支持用架構の構造強度及び耐震性の検討フローを図 2.3-1 に示す。

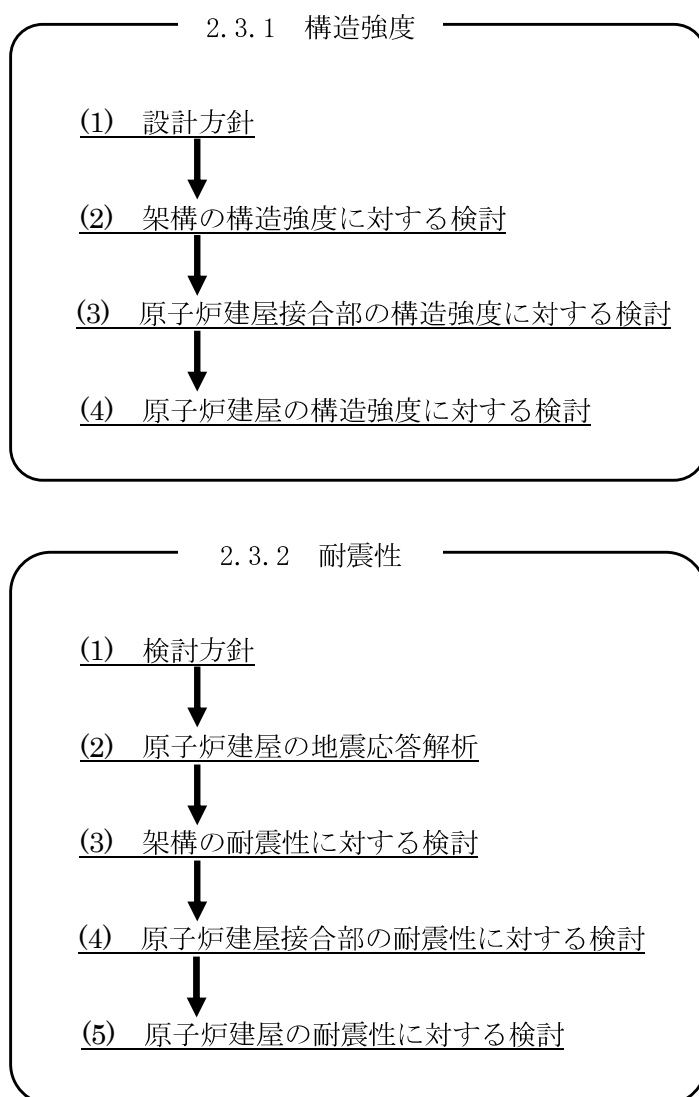


図 2.3-1 燃料取扱機支持用架構の検討フロー

2.3.1 構造強度

(1) 設計方針

構造強度の検討は、燃料取扱機支持用架構、原子炉建屋接合部及び架構反力が作用する原子炉建屋について許容応力度設計を実施する。

1) 使用材料及び許容応力度

燃料取扱機支持用架構の物性値及び許容応力度を表 2.3.1-1 に示す。

表 2.3.1-1 燃料取扱機支持用架構の物性値及び許容応力度

材料定数						
部位	材料	ヤング係数 E (N/mm ²)	ポアソン比 ν	単位体積重量 γ (kN/m ³)		
架 構	鉄骨	2.05×10 ⁵	0.3	77.0		
基礎構造	コンクリート	2.44×10 ⁴	0.2	24.0		

コンクリートの許容応力度 (単位：N/mm ²)						
設計基準強度= 30	長期			短期		
	圧縮	引張	せん断	圧縮	引張	せん断
	10.0	—	0.790	20.0	—	1.185

鉄筋の許容応力度 (単位：N/mm ²)					
記号	鉄筋径	長期		短期	
		引張及び圧縮	せん断補強	引張及び圧縮	せん断補強
SD345	D29 未満	215	195	345	345
	D29 以上	195			

構造用鋼材の許容応力度 (単位：N/mm ²)			
板厚	材料	基準強度 F	許容応力度
T ≤ 40 mm	SS400	235	「鋼構造設計規準」に従い、左記 F の値より求める
T ≤ 40 mm	SM490A	325	
T > 40 mm	TMCP325B*, TMCP325C*	325	
—	BCP325	325	
—	BCR295	295	
—	SNR490B	325	

* : 国土交通大臣指定書 (国住指第 326-2, 平成 14 年 5 月 7 日) による

2) 荷重及び荷重組合せ

設計で考慮する荷重を以下に示す。

・鉛直荷重 (VL)

燃料取扱機支持用架構に作用する鉛直方向の荷重で、固定荷重、機器荷重、配管荷重及び積載荷重とする。

・クレーン荷重 (CL)

吊荷荷重を含む燃料取扱機による荷重を表 2.3.1-2 に示す。

表 2.3.1-2 クレーン荷重一覧表

燃料取扱機	735 kN
作業台車	196 kN

・地震荷重 (K)

燃料取扱機支持用架構に作用させる地震荷重は、G.L.-12.06m（原子炉建屋基礎スラブ上端レベル）を基準面とした原子炉建屋の地震層せん断力係数の算定結果より設定する。原子炉建屋の地震層せん断力係数は下式より算定し、算定結果を表 2.3.1-4 に示す。

$$Q_i = n \cdot C_i \cdot W_i$$

$$C_i = Z \cdot R_t \cdot A_i \cdot C_o$$

ここで、

Q_i : 水平地震力 (kN)

n : 施設の重要度に応じた係数 ($n=1.5$)

建築基準法で定める地震力の 1.5 倍を考慮する。

C_i : 地震層せん断力係数

W_i : 当該部分が支える重量 (kN)

ここに、燃料取扱機支持用架構の設計で考慮する原子炉建屋の全体重量は、瓦礫撤去の効果と燃料取扱機支持用架構を新規に設置する影響を考慮した。原子炉建屋の全体重量を表 2.3.1-3 に示す。

表 2.3.1-3 原子炉建屋の全体重量(kN)

原子炉建屋全体重量*1	1078100
瓦礫撤去による軽減重量	-39810
燃料取扱機支持用架構の付加重量	+6490
燃料取扱機支持用架構設計用原子炉建屋全体重量	1044780

*1 「福島第一原子力発電所の原子炉建屋の現状の耐震安全性および補強等に関する検討に係る報告書(その1)」(平成23年5月28日 東京電力株式会社)にて用いた原子炉建屋重量(1069320kN)に使用済燃料プール底部の支持構造物の設置工事による重量(8780kN)を加算したもの

Z : 地震地域係数 (Z=1.0)

Rt : 振動特性係数 (Rt=0.8)

Ai : 地震層せん断力係数の高さ方向の分布係数で、燃料取扱機支持用架構の固有値を用いたモーダル法 (二乗和平方根法) により求める。

C0 : 標準せん断力係数 (C0=0.2)

表 2.3.1-4 原子炉建屋の地震層せん断力係数の算定結果

階	G.L. (m)	各階重量 (kN)	Wi (kN)	Ai		n・Ci	
				NS 方向	EW 方向	NS 方向	EW 方向
5	+29.92	77700	—	—	—	—	—
4	+29.92~+22.30	88770	77700	2.070	2.218	0.497	0.533
3	+22.30~+16.90	122210	166470	1.787	1.831	0.429	0.440
2	+16.90~+8.70	127700	288680	1.520	1.549	0.365	0.372
1	+8.70~+0.20	208960	416380	1.309	1.315	0.314	0.316
B1	+0.20~-12.06	—	625340	1.000	1.000	0.240	0.240

燃料取扱機支持用架構に作用させる水平震度は、原子炉建屋 4 階の NS 方向地震層せん断力係数 ($n \cdot Ci=0.497$) 及び EW 方向地震層せん断力係数 ($n \cdot Ci=0.533$) より、水平震度を $Ki=n \cdot Ci$ として水平地震力を設定する。表 2.3.1-5 に燃料取扱機支持用架構に作用させる水平地震力の算定結果を示す。

表 2.3.1-5 水平地震力の算定結果

G.L. (m)	各階重量 (kN)	NS 方向		EW 方向	
		水平震度 Ki	水平地震力 Pi (kN)	水平震度 Ki	水平地震力 Pi (kN)
+30.77	2487	0.497	1236	0.533	1326
+20.485	298	0.497	148	0.533	159
+10.20	188	0.497	93	0.533	100

ここに、燃料取扱機支持用架構は鉄骨造で剛性が小さく、原子炉建屋は壁式鉄筋コンクリート造で剛性が非常に高いことから、燃料取扱機支持用架構の変形量に対して原子炉建屋の変形量は非常に小さく、地震時の原子炉建屋の変形が燃料取扱機支持用架構に及ぼす影響は考慮しないものとした。

・荷重組合せ

設計で考慮する燃料取扱機の位置を図 2.3.1-1 に、荷重組合せを表 2.3.1-6 に示す。なお、燃料取扱機支持用架構はクレーン支持用架構に覆われているため、積雪時及び暴風時は考慮しないものとした。

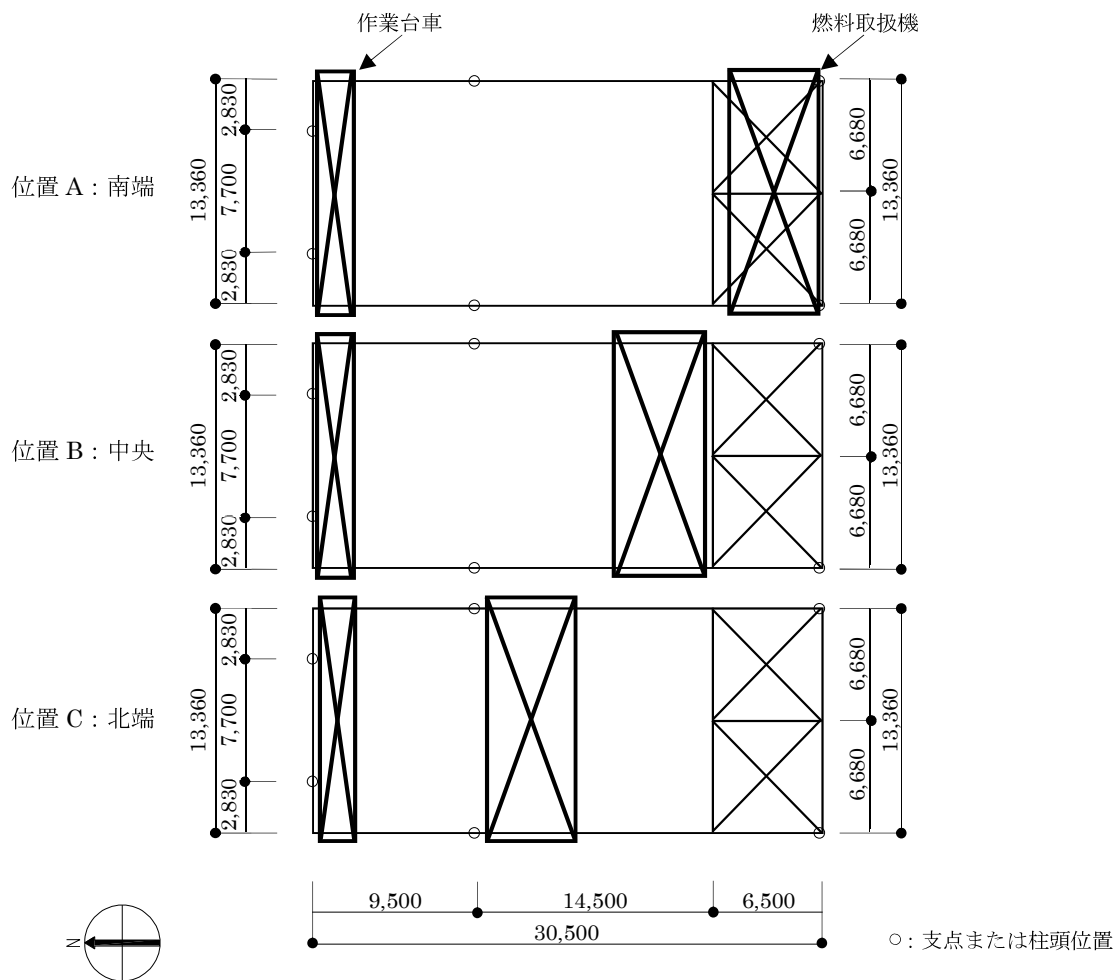


図 2.3.1-1 燃料取扱機の位置 (単位 : mm)

表 2.3.1-6 燃料取扱機支持用架構の荷重組合せ

想定する状態	荷重ケース	荷重組合せ内容	許容応力度
常時	C	VL+CL	長期
地震時	E1	VL+CL+K(+NS)*1	短期
	E2	VL+CL+K(-NS)*1	
	E3	VL+CL+K(+EW)*1	
	E4	VL+CL+K(-EW)*1	

*1 : 地震荷重は NS 方向及び EW 方向を考慮する

(2) 架構の構造強度に対する検討

1) 解析モデル

燃料取扱機支持用架構の解析モデルは、G.L. +8.70m より上部を立体架構モデルとし、柱及び梁端部の境界条件は剛接、原子炉建屋シェル壁上端はピン及び原子炉建屋南側外壁の柱脚部は固定とする。解析モデル、部材寸法及び応力検討箇所を図 2.3.1-2 に示す。

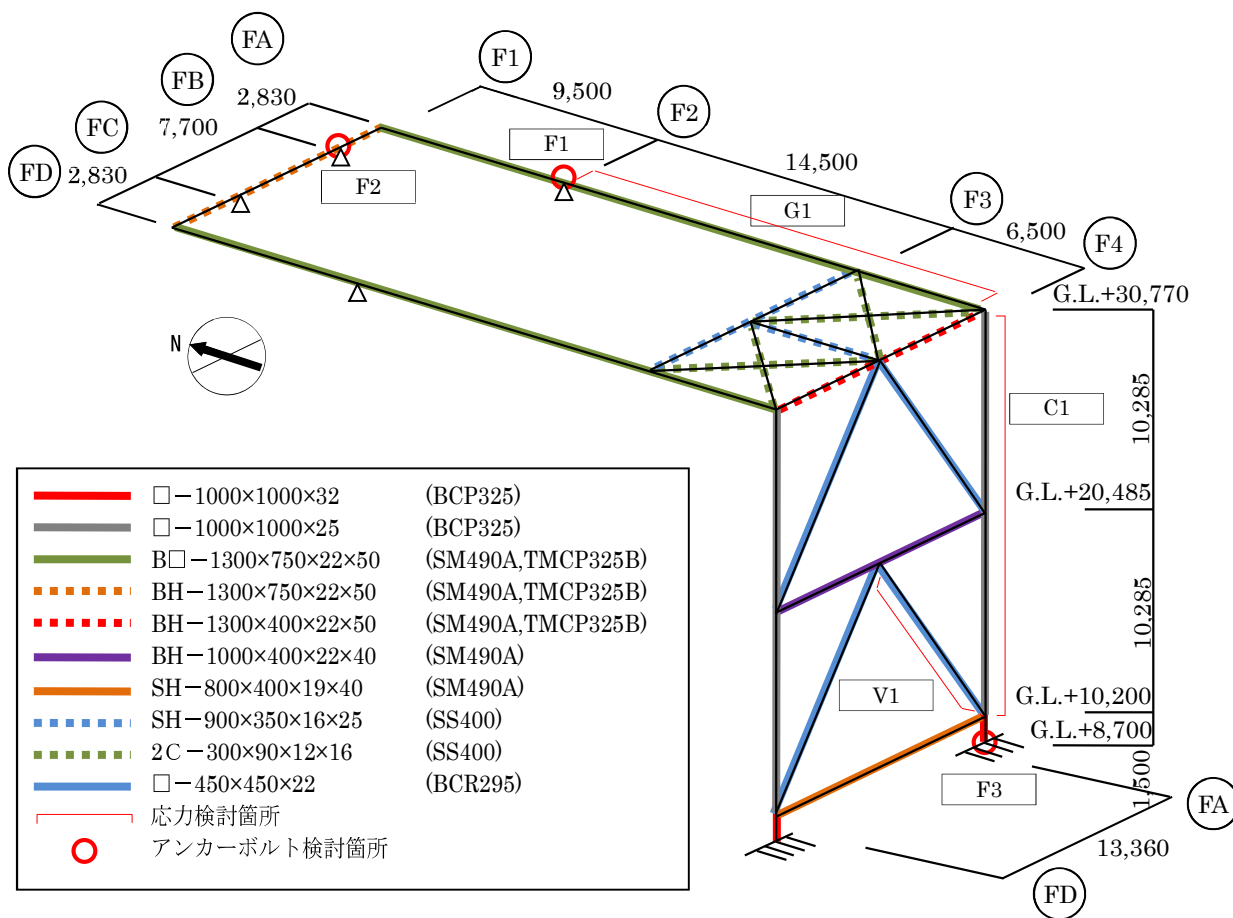


図 2.3.1-2 解析モデル図 (単位: mm)

2) 断面検討

応力解析結果を用い、断面検討は二方向の曲げを図 2.3.1-3 に示すように考慮する。

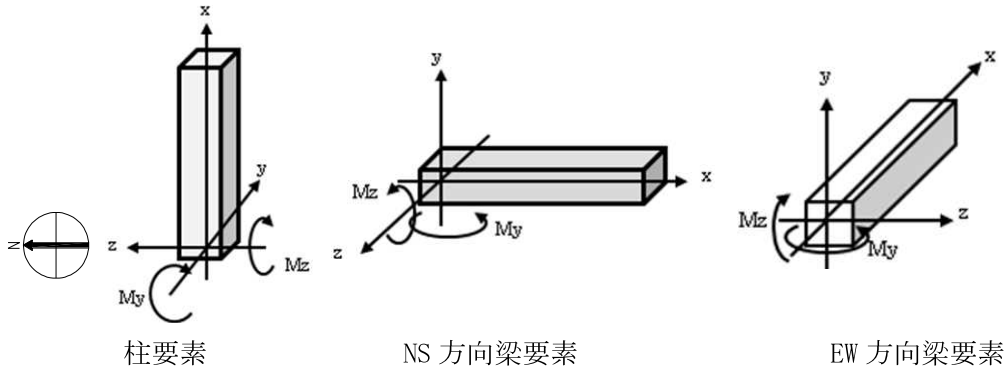


図 2.3.1-3 曲げモーメントの方向

応力度比の検討は「鋼構造設計規準」に従い、軸力及び曲げモーメントに対する検討は下式にて行う。

・ 軸圧縮の場合
$$\frac{\sigma_c}{f_c} + \frac{\sigma_{bz} + \sigma_{by}}{f_b} \leq 1$$

・ 軸引張の場合
$$\frac{\sigma_c + \sigma_{bz} + \sigma_{by}}{f_t} \leq 1$$

ここで、

σ_c : 軸応力度 (=N/A)

N : 軸力, A : 断面積

σ_{bz} : 部材 z 軸方向曲げ応力度 (=Mz/Zz)

Mz, Zz : 部材 z 軸回りモーメント及び断面係数

σ_{by} : 部材 y 軸方向曲げ応力度 (=My/Zy)

My, Zy : 部材 y 軸回りモーメント及び断面係数

fc : 許容圧縮応力度

fb : 許容曲げ応力度

ft : 許容引張応力度

また、せん断力に対する検討は、下式にて行う。

$$\frac{\sqrt{(\sigma_c + \sigma_{bz} + \sigma_{by})^2 + 3\tau_z^2}}{f_t} \leq 1 \quad \text{かつ} \quad \frac{\sqrt{(\sigma_c + \sigma_{bz} + \sigma_{by})^2 + 3\tau_y^2}}{f_t} \leq 1$$

ここで、

τ_z : 部材 z 軸方向せん断応力度 (=Qz/Awz)

Qz, Awz : 部材 z 軸方向せん断力及びせん断断面積

τ_y : 部材 y 軸方向せん断応力度 (=Qy/Awy)

Qy, Awy : 部材 y 軸方向せん断力及びせん断断面積

表 2.3.1-7 及び表 2.3.1-8 に応力度比が最大となる部位の断面検討結果を示す。
 断面検討の結果、全ての部材に対する応力度比が 1 以下になることを確認した。

表 2.3.1-7 断面検討結果（常時）

部位	検討箇所	部材形状 (mm)	荷重ケース (位置)*1	作用 応力度 (N/mm ²)		許容 応力度 (N/mm ²)	応力度比	判定
柱	C1	□-1000×1000 ×25×25	C (B)	曲げ Mz	0.3	216.7	0.13	OK
				曲げ My	20.0			
				圧縮 N	4.2			
				せん断 Qz	0.9			
				せん断 Qy	0.0			
梁	G1	B□-1300×750 ×22×50	C (B)	曲げ Mz	36.6	216.7	0.18	OK
				曲げ My	1.2			
				圧縮 N	0.4			
				せん断 Qz	0.2			
				せん断 Qy	0.5			
ブレース	V1	□-450×450 ×22	C (B)	曲げ Mz	0.0	196.7	0.02	OK
				曲げ My	1.5			
				圧縮 N	1.5			
				せん断 Qz	0.1			
				せん断 Qy	0.0			

*1：燃料取扱機の位置を示す

表 2.3.1-8 断面検討結果（地震時）

部位	検討箇所	部材形状 (mm)	荷重ケース (位置)*1	作用 応力度 (N/mm ²)		許容 応力度 (N/mm ²)	応力度比	判定
柱	C1	□-1000×1000 ×25×25	E2 (B)	曲げ Mz	0.2	325.0	0.10	OK
				曲げ My	25.1			
				圧縮 N	4.3			
				せん断 Qz	1.7			
				せん断 Qy	0.0			
梁	G1	B□-1300×750 ×22×50	E3 (C)	曲げ Mz	34.2	325.0	0.21	OK
				曲げ My	28.5			
				圧縮 N	1.2			
				せん断 Qz	3.4			
				せん断 Qy	10.2			
ブレース	V1	□-450×450 ×22	E3 (A)	曲げ Mz	2.8	295.0	0.13	OK
				曲げ My	0.0			
				圧縮 N	23.9			
				せん断 Qz	0.0			
				せん断 Qy	0.2			

*1：燃料取扱機の位置を示す

(3) 原子炉建屋接合部の構造強度に対する検討

1) 許容耐力の算定

燃料取扱機支持用架構の原子炉建屋上の支点は接着系アンカーボルトを用いて一体化が図られる。接着系アンカーボルトの許容耐力は「各種合成構造設計指針・同解説」に従い、原子炉建屋の設計基準強度 (22.1N/mm²) を用いて下式によって求め、計算結果を表 2.3.1-9 に示す。

$$p_a = \min(p_{a1}, p_{a3})$$

$$q_a = \min(q_{a1}, q_{a2}, q_{a3})$$

ここで、

- p_a : 接着系アンカーボルトの許容引張力
- p_{a1} : アンカーボルトの降伏により決まる許容引張力
- p_{a3} : 付着力により決まる許容引張力
- q_a : 接着系アンカーボルトの許容せん断力
- q_{a1} : アンカーボルトのせん断強度により決まる許容せん断力
- q_{a2} : 躯体の支圧強度により決まる許容せん断力
- q_{a3} : 躯体のコーン破壊により決まる許容せん断力

表 2.3.1-9 接着系アンカーボルトの許容耐力

箇所		シェル壁上端 (F1, F2)	南側外壁 (F3)	
高さ	m	G.L.+29.92	G.L.-0.40~G.L.+8.70	
鋼材種類		M27	D25	
		SNR490B	SD345	
埋め込み長さ	mm	700	450	
アンカーボルトの間隔	mm	300	400	
長期	許容引張力(p_{aL})	kN/本	58	51
	許容せん断力(q_{aL})	kN/本	53	58
短期	許容引張力(p_{aS})	kN/本	116	102
	許容せん断力(q_{aS})	kN/本	104	116

2) シェル壁上端位置の検討

燃料取扱機支持用架構とシェル壁との接合部の概要を図 2.3.1-4 に、作用応力と許容耐力を比較した結果を表 2.3.1-10 に示す。

検討の結果、全ての応力度比が 1 以下になることを確認した。

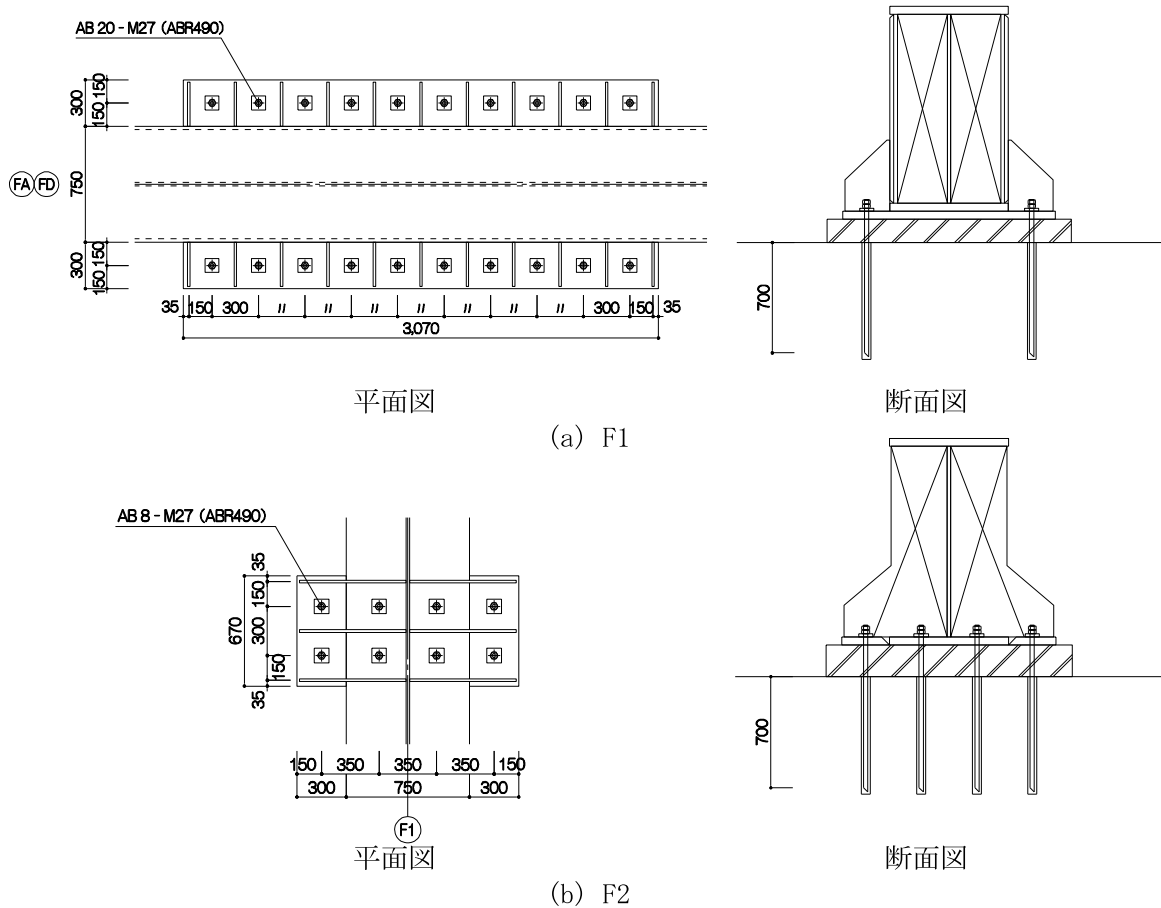


図 2.3.1-4 シェル壁上端位置の接合部概要（単位：mm）

表 2.3.1-10 シェル壁上端位置の検討結果

検討箇所 (アンカー本数) ^{*1}	荷重ケース (位置) ^{*2}	作用応力		許容耐力		応力度比	判定
		引抜力 P (kN)	せん断力 Q (kN)	許容引張力 p _a (kN)	許容せん断力 q _a (kN)		
F1 (20)	C (B)	0	41	1160	1060	0.04	OK
	E2 (B)	0	669	2320	2080	0.33	OK
F2 (8)	C (A)	0	10	464	424	0.03	OK
	E3 (A)	0	94	928	832	0.12	OK

*1：設計で考慮するアンカーボルトの本数

*2：燃料取扱機の位置を示す

3) 南側外壁位置の検討

燃料取扱機支持用架構と南側外壁との接合部の概要を図 2.3.1-5 に、作用応力と許容耐力を比較した結果を表 2.3.1-11 に示す。

検討の結果、全ての応力度比が 1 以下になることを確認した。

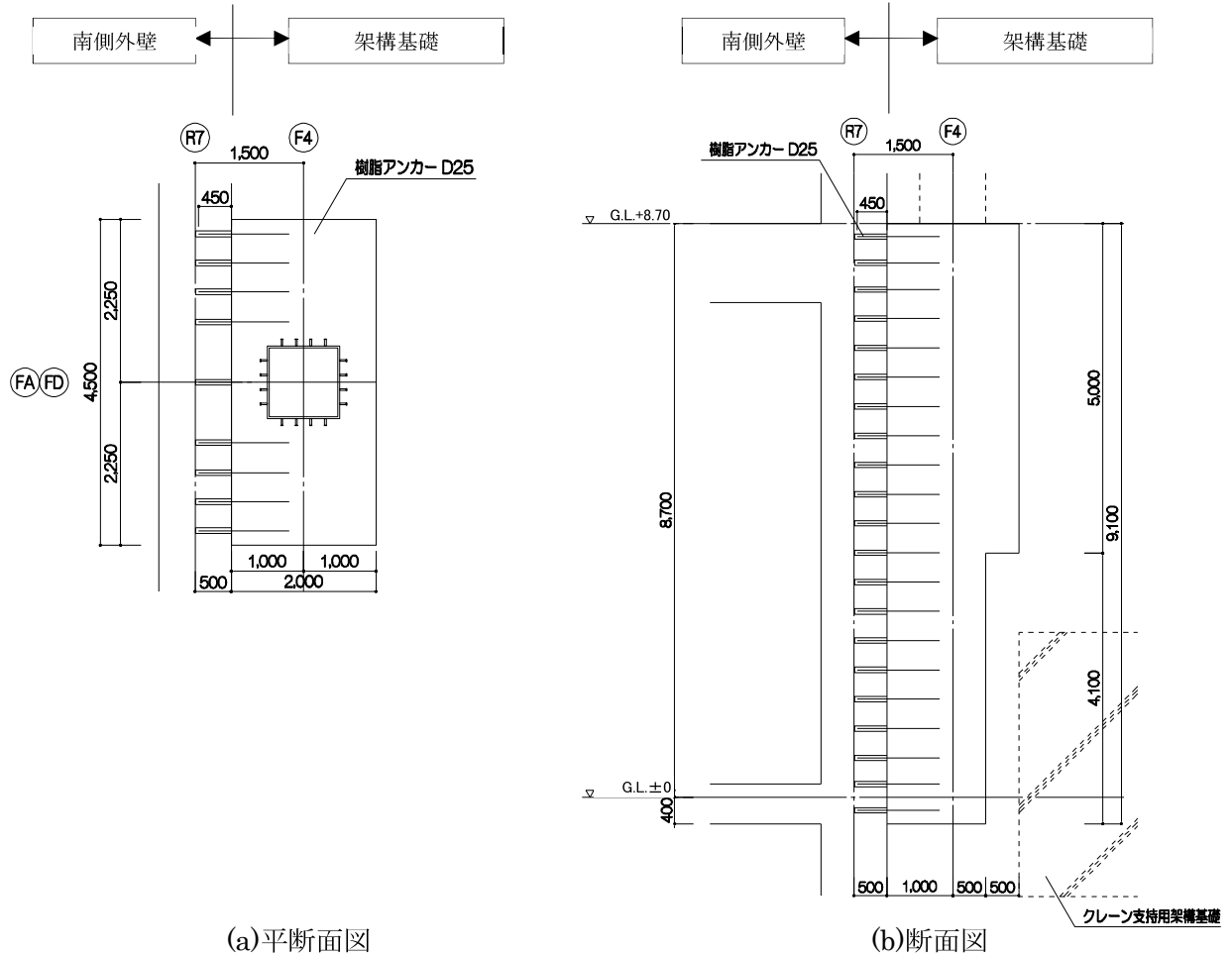


図 2.3.1-5 南側外壁位置の接合部概要 (単位: mm)

表 2.3.1-11 南側外壁位置の検討結果

検討箇所 方向 (アンカー本数)*1	荷重ケース (位置)*2	作用応力		許容耐力		応力度比	判定
		引抜力 P (kN)	せん断力 Q (kN)	許容引張力 p _a (kN)	許容せん断力 q _a (kN)		
F3 NS 方向 (引張 24) (せん断 99)	C (A)	552	2622	1224	5742	0.46	OK
	E1 (A)	951	2613	2448	11484	0.39	OK
F3 EW 方向 (引張 15) (せん断 99)	C (A)	24	2622	765	5742	0.46	OK
	E3 (A)	412	4049	1530	11484	0.36	OK

*1: 設計で考慮するアンカーボルトの本数。アンカーボルトは引張に抵抗するものとせん断に抵抗するものをそれぞれ設定した

*2: 燃料取扱機の位置を示す

(4) 原子炉建屋の構造強度に対する検討

1) 検討方針

原子炉建屋の構造強度の検討では、当該躯体建設時の設計用応力*1に架構反力により生じる応力を重ね合わせた応力が、許容応力度以下になることを確認する。ここで、燃料取扱機支持用架構の重量が原子炉建屋に比較して十分に小さいことから、検討は地震時についてのみ実施する。検討対象部位は、架構反力を受けるシェル壁と南側外壁とする。なお、シェル壁については G.L.+8.70m より上部を検討対象とする。検討対象部位を図 2.3.1-6 に示す。

*1：原子炉建屋全体重量は、瓦礫撤去の効果（-39810kN）及び燃料取扱機支持用架構の新設（+6490kN）を考慮すると軽減傾向にあり、地震時応力は低減されるが、安全側の評価として建設時の設計用応力を用いる

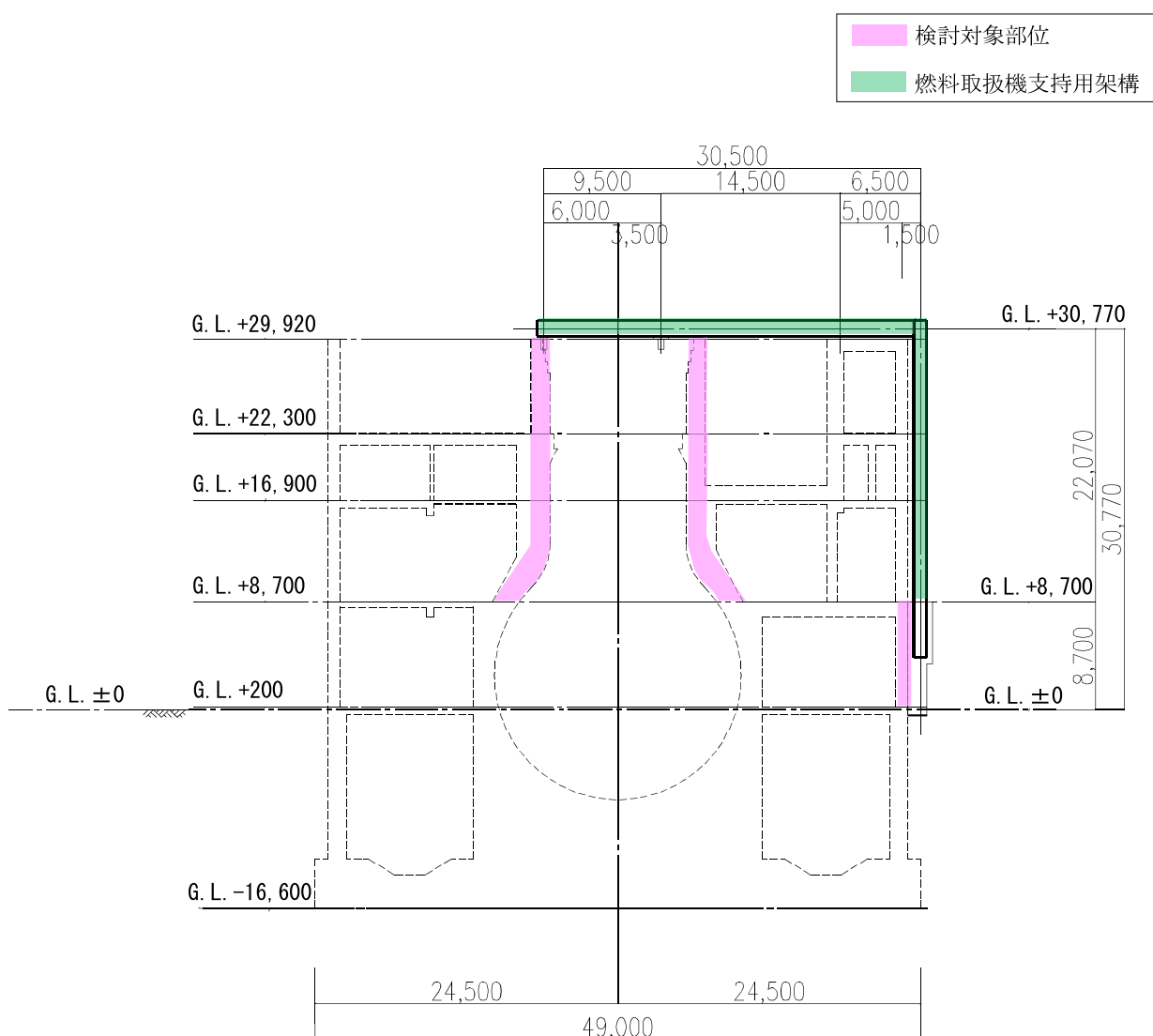


図 2.3.1-6 既存躯体の検討対象部位（単位：mm）

2) 断面検討

軸力及び曲げモーメントに対する断面検討とせん断に対する断面検討は、「原子力施設鉄筋コンクリート構造計算規準・同解説」に従い、設計基準強度(22.1N/mm²)を用いて行う。

シェル壁の軸力及び曲げモーメントに対する検討結果を表 2.3.1-12 に、せん断力に対する断面検討結果を表 2.3.1-13 に示す。南側外壁の面内方向に対する断面検討結果を表 2.3.1-14 に、面外方向に対する断面検討結果を表 2.3.1-15 に示す。

検討の結果、全ての応力度比が1以下になることを確認した。また、燃料取扱機支持用架構の反力により生じる応力は、建設時の設計用応力の10%以下であることを確認した。

表 2.3.1-12 シェル壁の断面検討結果(1)
(軸力及び曲げモーメントに対する検討)

G.L. (m)	コア壁厚 t (m)	配筋 タテ筋 a _t (cm ² /m) P _g (%)	鉄筋の 最大引張応力度 σ _t (N/mm ²)	コンクリートの 最大圧縮応力度 σ _c (N/mm ²)	応力度比 σ _t /f _t	判定
+29.92～ +22.30	1.50	a _t =87.7 P _g =1.16	58.1	2.0	0.17	OK
+22.30～ +16.90	1.85	a _t =87.7 P _g =0.94	80.1	3.4	0.24	OK
+16.90～ +8.70	2.08	a _t =171.0 P _g =1.64	64.3	3.7	0.19	OK

表 2.3.1-13 シェル壁の断面検討結果(2)
(せん断に対する検討)

G.L. (m)	コア壁厚 t (m)	配筋 上段:タテ筋 下段:ヨコ筋 a _t (cm ² /m) P _g (%)	鉄筋の 最大引張応力度 σ _t (N/mm ²)	応力度比 σ _t /f _t	判定
+29.92～ +22.30	1.50	a _t =87.7 P _g =1.16	86.3	0.26	OK
		a _t =76.0 P _g =1.01	99.1	0.29	OK
+22.30～ +16.90	1.85	a _t =87.7 P _g =0.94	117.1	0.34	OK
		a _t =76.0 P _g =0.82	134.2	0.39	OK
+16.90～ +8.70	2.08	a _t =171.0 P _g =1.64	125.0	0.37	OK
		a _t =171.0 P _g =1.64	125.0	0.37	OK

表 2.3.1-14 南側外壁の断面検討結果(1)
(面内方向)

G.L. (m)	壁厚 t (m)	配筋 上段:タテ筋 下段:ヨコ筋 P _g (%)	せん断			曲げモーメント		応力度比 σ_t/f_t	判定
			鉄筋の 最大引張応力度 σ_t (N/mm ²)	鉄筋の 最大引張応力度 σ_t (N/mm ²)	コンクリートの 最大圧縮応力度 σ_c (N/mm ²)				
+8.70 ~ +0.20	1.00	2-D32@200 P _g =0.79	278.5	0.0	2.0	0.81	OK		
		2-D32@200 P _g =0.79							

表 2.3.1-15 南側外壁の断面検討結果(2)
(面外方向)

G.L. (m)	壁厚 t (m)	配筋 タテ筋 P _g (%)	せん断			曲げモーメント			
			コンクリートの最大 せん断応力度 τ_s (N/mm ²)	応力 度比 τ_s/f_s	判定	鉄筋の最大 引張応力度 σ_t (N/mm ²)	コンクリートの最大 圧縮応力度 σ_c (N/mm ²)	応力 度比 σ_t/f_t	判定
+8.70 ~ +0.20	1.00	2-D32@200 P _g =0.79	0.1	0.10	OK	110.8	2.1	0.33	OK

2.3.2 耐震性

(1) 検討方針

耐震性の検討は、燃料取扱機支持用架構、原子炉建屋接合部及び原子炉建屋の健全性について行い、基準地震動 S_s に対して燃料取扱機支持用架構及び原子炉建屋の応答性状を適切に表現できる地震応答解析を用いて評価する。

(2) 原子炉建屋の地震応答解析

1) 解析に用いる入力地震動

検討に用いる地震動は、「福島第一原子力発電所『発電用原子炉施設に関する耐震設計審査指針』の改訂に伴う耐震安全性評価結果 中間報告書」（平成 20 年 3 月 31 日 東京電力株式会社）にて作成した解放基盤表面に定義される基準地震動 S_s （図 2.2.2-2(1)及び図 2.2.2-2(2)参照）とする。

地震応答解析に用いる入力地震動の概念図を図 2.3.2-1 に示す。モデルに入力する地震動は一次元波動論に基づき、解放基盤表面に定義される基準地震動 S_s に対する地盤の応答として評価する。

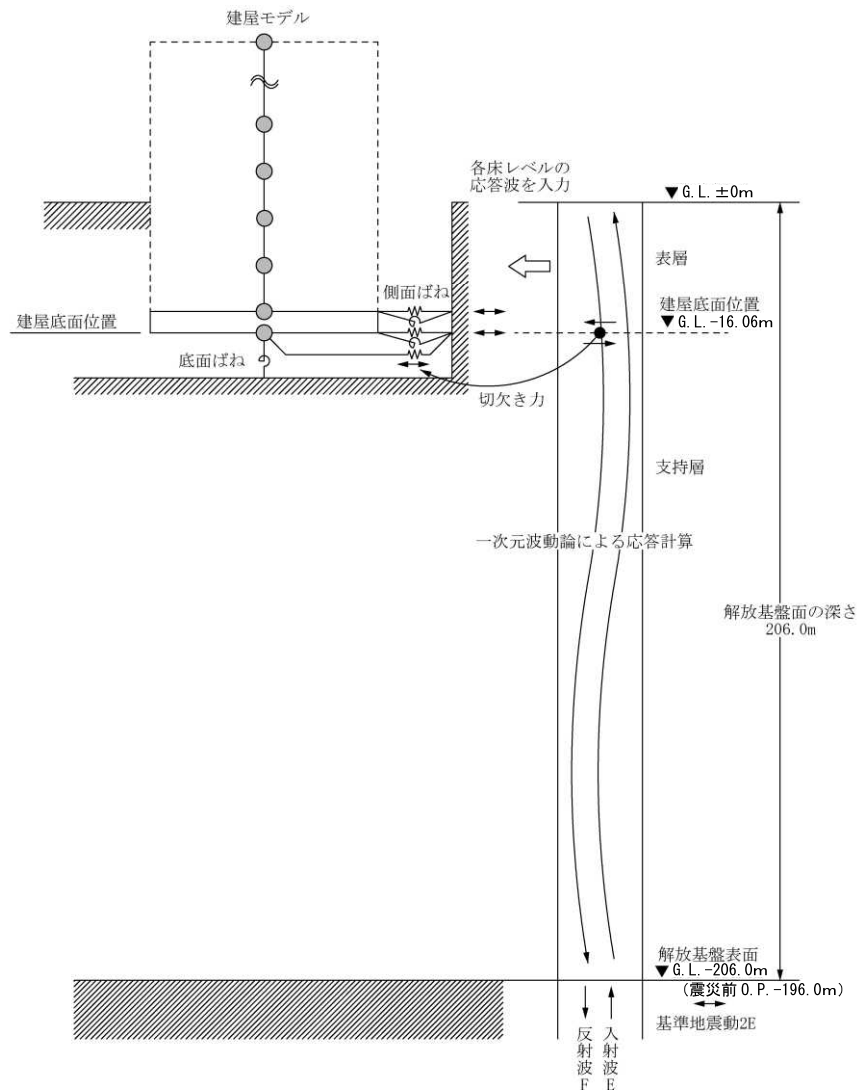


図 2.3.2-1 地震応答解析に用いる入力地震動の概念図

2) 地震応答解析モデル

原子炉建屋の地震応答解析モデルは、図 2.3.2-2 に示すように質点系でモデル化し、地盤を等価なばねで評価した建屋—地盤連成系モデルとする。

地震応答解析モデルの諸元は、「福島第一原子力発電所の原子炉建屋の現状の耐震安全性および補強等に関する検討に係る報告書（その1）」（平成 23 年 5 月 28 日 東京電力株式会社）に示される内容に、使用済燃料プール底部の支持構造物の設置工事、瓦礫撤去及び新規に設置する燃料取扱機支持用架構の重量を考慮した。解析諸元を表 2.3.2-1(1) 及び表 2.3.2-1(2) に示す。

地盤定数は、水平成層地盤と仮定し地震時のせん断ひずみレベルを考慮して定めた。地盤定数の設定結果を表 2.3.2-2 に示す。基礎底面の地盤ばねについては、「JEAG 4601-1991」に示されている手法を参考にして、地盤を成層補正し振動アドミタンス理論によりスウェイ及びロッキングばねを評価した。

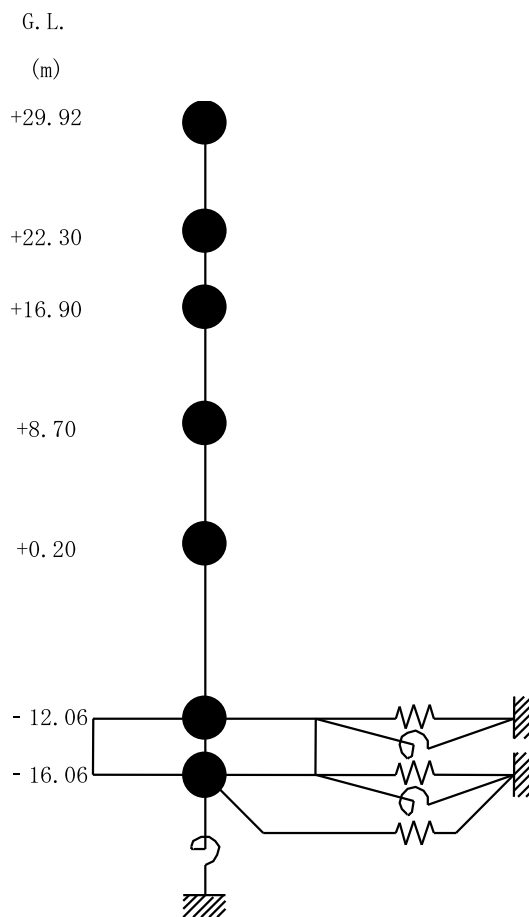


図 2.3.2-2 原子炉建屋の地震応答解析モデル

表 2. 3. 2-1(1) 原子炉建屋の地震応答解析モデルの諸元

(a) 水平 (NS) 方向

G.L. (m)	質点重量 W (kN)	回転慣性重量 I _G (×10 ⁵ kN・m ²)	せん断断面積 A _s (m ²)	断面二次モーメント I (m ⁴)
+29.92	77700	141.73		
			150.8	13068
+22.30	88770	163.44		
			103.4	15942
+16.90	122210	224.92		
			223.4	45026
+8.70	127700	244.14		
			175.4	46774
+0.20	208960	391.33		
			460.4	114194
-12.06	287050	574.38		
			2812.6	562754
-16.06	132390	264.88		
合計	1044780			
		ヤング係数 E _c 2.57×10 ⁷ (kN/m ²) せん断弾性係数 G 1.07×10 ⁷ (kN/m ²) ポアソン比 ν 0.20 減衰 h 5%		

(b) 水平 (EW) 方向

G.L.(m)	質点重量 W (kN)	回転慣性重量 I _G (×10 ⁵ kN・m ²)	せん断断面積 A _s (m ²)	断面二次モーメント I (m ⁴)
+29.92	77700	78.78		
			90.4	6491
+22.30	88770	91.66		
			105.8	6388
+16.90	122210	224.92		
			167.5	32815
+8.70	127700	232.88		
			166.4	46303
+0.20	208960	570.57		
			424.5	136323
-12.06	287050	828.96		
			2812.6	772237
-16.06	132390	346.27		
合計	1044780			
		ヤング係数 E _c 2.57×10 ⁷ (kN/m ²) せん断弾性係数 G 1.07×10 ⁷ (kN/m ²) ポアソン比 ν 0.20 減衰 h 5%		

表 2.3.2-1(2) 原子炉建屋の地震応答解析モデルの諸元
(鉛直方向)

G.L. (m)	質点重量 W (kN)	軸断面積 A _N (m ²)	軸ばね剛性 K _A (×10 ⁸ kN/m ²)
+29.92	77700	222.6	7.41
+22.30	88770	218.1	10.58
+16.90	122210	380.4	11.92
+8.70	127700	340.6	10.30
+0.20	208960	654.7	13.72
-12.06	287050	2812.6	180.71
-16.06	132390		
合計	1044780		

ヤング係数 E_c 2.57×10⁷(kN/m²)
 せん断弾性係数 G 1.07×10⁷(kN/m²)
 ポアソン比 ν 0.20
 減衰 h 5%

表 2.3.2-2 地盤定数の設定結果

(a) Ss-1

G.L. (m)	地質	せん断波 速度 Vs (m/s)	単位体積 重量 γ (kN/m ³)	ポアソン 比 ν	せん断 弾性係数 G ($\times 10^5$ kN/m ²)	初期せん断 弾性係数 G ₀ ($\times 10^5$ kN/m ²)	剛性 低下率 G/G ₀	ヤング 係数 E ($\times 10^5$ kN/m ²)	減衰 定数 h (%)	層厚 H (m)
±0	砂岩	380	17.8	0.473	2.23	2.62	0.85	6.57	3	8.1
-8.1		450	16.5	0.464	2.66	3.41	0.78	7.79	3	11.9
-20.0	泥岩	500	17.1	0.455	3.40	4.36	0.78	9.89	3	70.0
-90.0		560	17.6	0.446	4.39	5.63	0.78	12.70	3	28.0
-118.0		600	17.8	0.442	5.09	6.53	0.78	14.68	3	88.0
-206.0		(解放基盤)	700	18.5	0.421	9.24	9.24	1.00	26.26	-

(b) Ss-2

G.L. (m)	地質	せん断波 速度 Vs (m/s)	単位体積 重量 γ (kN/m ³)	ポアソン 比 ν	せん断 弾性係数 G ($\times 10^5$ kN/m ²)	初期せん断 弾性係数 G ₀ ($\times 10^5$ kN/m ²)	剛性 低下率 G/G ₀	ヤング 係数 E ($\times 10^5$ kN/m ²)	減衰 定数 h (%)	層厚 H (m)
±0	砂岩	380	17.8	0.473	2.23	2.62	0.85	6.57	3	8.1
-8.1		450	16.5	0.464	2.76	3.41	0.81	8.08	3	11.9
-20.0	泥岩	500	17.1	0.455	3.53	4.36	0.81	10.27	3	70.0
-90.0		560	17.6	0.446	4.56	5.63	0.81	13.19	3	28.0
-118.0		600	17.8	0.442	5.29	6.53	0.81	15.26	3	88.0
-206.0		(解放基盤)	700	18.5	0.421	9.24	9.24	1.00	26.26	-

(c) Ss-3

G.L. (m)	地質	せん断波 速度 Vs (m/s)	単位体積 重量 γ (kN/m ³)	ポアソン 比 ν	せん断 弾性係数 G ($\times 10^5$ kN/m ²)	初期せん断 弾性係数 G ₀ ($\times 10^5$ kN/m ²)	剛性 低下率 G/G ₀	ヤング 係数 E ($\times 10^5$ kN/m ²)	減衰 定数 h (%)	層厚 H (m)
±0	砂岩	380	17.8	0.473	2.25	2.62	0.86	6.63	3	8.1
-8.1		450	16.5	0.464	2.66	3.41	0.78	7.79	3	11.9
-20.0	泥岩	500	17.1	0.455	3.40	4.36	0.78	9.89	3	70.0
-90.0		560	17.6	0.446	4.39	5.63	0.78	12.70	3	28.0
-118.0		600	17.8	0.442	5.09	6.53	0.78	14.68	3	88.0
-206.0		(解放基盤)	700	18.5	0.421	9.24	9.24	1.00	26.26	-

3) 地震応答解析結果

地震応答解析は水平方向と鉛直方向を別々に入力した。最大応答加速度分布を図 2. 3. 2-3 に示す。

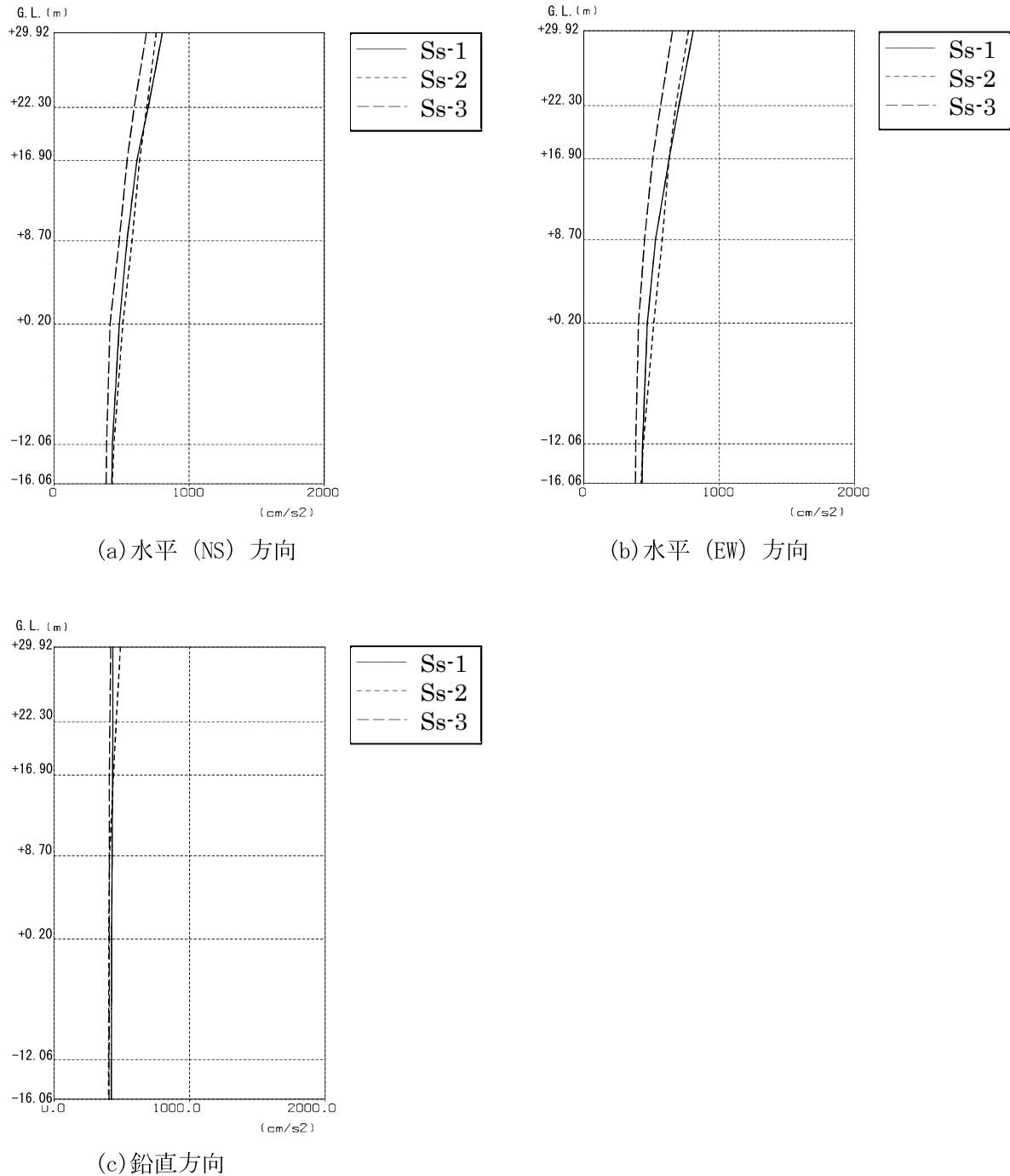


図 2. 3. 2-3 原子炉建屋の最大応答加速度分布

(3) 架構の耐震性に対する検討

1) 解析に用いる入力地震動

燃料取扱機支持用架構への入力地震動は、基準地震動 S_s を入力したときの原子炉建屋 G.L. +29.92m と G.L. +8.70m の時刻歴応答変位を用い、水平方向と鉛直方向の同時入力とする。

2) 地震応答解析モデル

地震応答解析に用いる入力地震動の概念と燃料取扱機支持用架構の解析モデルを図 2.3.2-4 に、層間変形角が最大となる燃料取扱機を南端に設置した場合の地震応答解析モデルにおける質点重量を表 2.3.2-3 に示す。

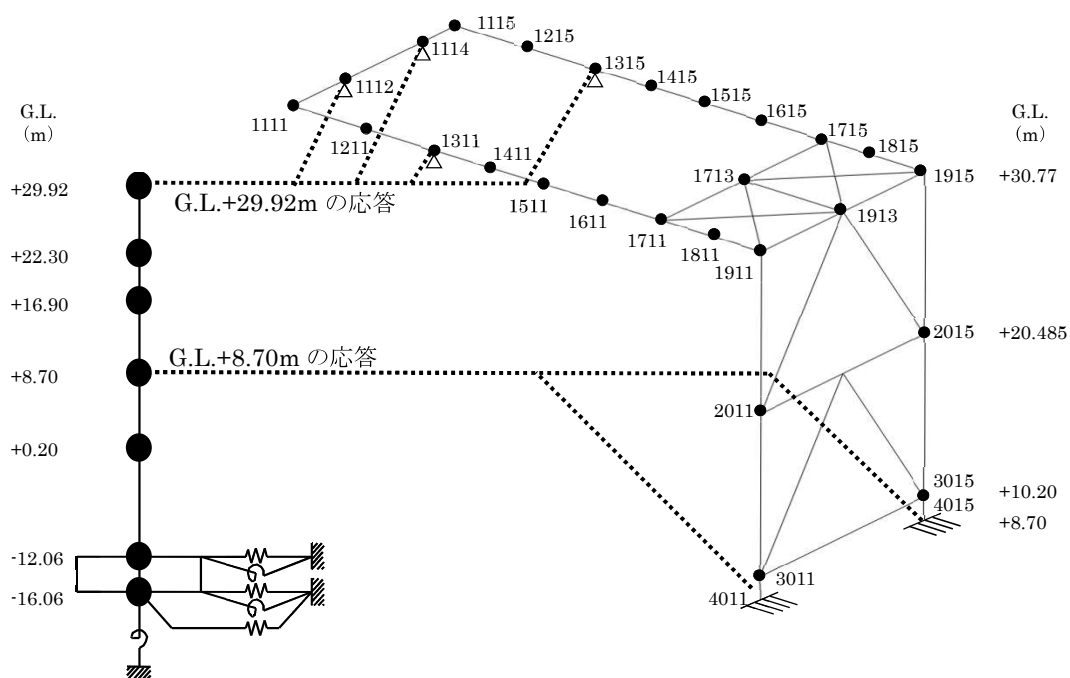


図 2.3.2-4 燃料取扱機支持用架構の地震応答解析モデル

表 2.3.2-3 燃料取扱機支持用架構の地震応答解析モデルにおける質点重量

G.L.(m)	節点番号	質点重量 (kN)	
+30.77	1111	57	
	1211	89	
	1311	79	
	1411	68	
	1511	68	
	1611	68	
	1711	78	
	1811	62	
	1911	97	
	1115	57	
	1215	89	
	1315	79	
	1415	68	
	1515	68	
	1615	68	
	1715	78	
	1815	62	
	1915	97	
	+20.485	1112	46
		1114	46
1713		37	
1913		94	
9001		49	
9002		49	
9003		49	
9004		49	
9501		184	
9502		184	
9601		184	
9602		184	
+10.20	2011	149	
	2015	149	
+10.20	3011	94	
	3015	94	
合 計		2973	

3) 波及的影響の評価

地震応答解析結果が、JSCA 性能メニュー（社団法人日本建築構造技術者協会，2002 年）を参考に定めたクライテリア（「層間変形角は 1/75 以下，層の塑性率は 4 以下，部材の塑性率は 5 以下」*1 及びせん断力はせん断耐力以下）を満足することを確認する。

なお，解析結果が「時刻歴応答解析建築物性能評価業務方法書」（財団法人日本建築センター，平成 19 年 7 月 20 日）に示されるクライテリア（層間変形角は 1/100 以下，層の塑性率は 2 以下，部材の塑性率は 4 以下）を超える場合には水平変形に伴う鉛直荷重の付加的影響を考慮した解析を実施し，安全性を確認する。

*1：北村春幸，宮内洋二，浦本弥樹「性能設計における耐震性能判断基準値に関する研究」，日本建築学会構造系論文集，第 604 号，2006 年 6 月

・層間変形角の検討

燃料取扱機支持用架構の層間変形角を表 2.3.2-4 に示す。

検討の結果，層間変形角は 1/75 以下となりクライテリアを満足することを確認した。

表 2.3.2-4 層間変形角の検討結果

G.L. (m)	最大応答値						クライテリア	判定
	NS 方向入力時			EW 方向入力時				
	Ss-1	Ss-2	Ss-3	Ss-1	Ss-2	Ss-3	1/75	OK
+20.485~+30.77	1/10285	1/10285	1/34283	1/1686	1/2057	1/2706		
+8.70~+20.485	1/1061	1/1309	1/1419	1/1733	1/2104	1/2805		

・塑性率の検討

部材の塑性率は、最大応答曲げモーメント時の曲率を全塑性モーメントに至る時の曲率で除した値で表される。最大曲げモーメントが全塑性モーメント以下の場合は弾性であり塑性率は1以下となる。最大応答値を全塑性モーメントまたはせん断耐力で除した値を耐力比と定義し、表 2.3.2-5 に検討結果を示す。

表 2.3.2-5 より曲げモーメント及びせん断力については、全てのケースで耐力比が1を下回ることから塑性率は1以下となり、クライテリアを満足することを確認した。

表 2.3.2-5 耐力比の検討結果

部位	検討箇所	部材形状 (mm)	地震波	入力方向	耐力比		判定
柱	C1	□-1000×1000 ×25×25	Ss-1	NS	Mz/Muz	0.01	OK
					My/Muy	0.10	
					Qz/Quz	0.03	
					Qy/Quy	0.01	
梁	G1	B□-1300×750 ×22×50	Ss-1	EW	Mz/Muz	0.12	OK
					My/Muy	0.06	
					Qz/Quz	0.02	
					Qy/Quy	0.09	
ブレース	V1	□-450×450 ×22	Ss-1	EW	Mz/Muz	0.02	OK
					My/Muy	0.02	
					Qz/Quz	0.01	
					Qy/Quy	0.01	

M_z : 部材 z 軸回りの曲げモーメントの最大値

M_y : 部材 y 軸回りの曲げモーメントの最大値

Q_z : 部材 z 方向のせん断力の最大値

Q_y : 部材 y 方向のせん断力の最大値

M_{uz} : 部材 z 軸回りの全塑性モーメント

M_{uy} : 部材 y 軸回りの全塑性モーメント

Q_{uz} : 部材 z 軸方向のせん断耐力

Q_{uy} : 部材 y 軸方向のせん断耐力

(4) 原子炉建屋接合部の耐震性に対する検討

接着系アンカーボルトの耐震性の検討は、短期許容引張力及び短期許容せん断力を許容耐力とし、応力度比が1以下になることを確認する。

1) シェル壁上端位置の検討

作用応力と許容耐力を比較した結果を表 2.3.2-6 に示す。

検討の結果、全ての応力度比が1以下になることを確認した。

表 2.3.2-6 シェル壁上端位置の検討結果

検討箇所 (アンカー本数)*1	地震波	入力 方向	作用応力		許容耐力		応力度比	判定
			引抜力 P (kN)	せん断力 Q (kN)	短期 許容引張力 pa (kN)	短期 許容せん断力 qa (kN)		
F1 (20)	Ss-1	NS	0	1105	2320	2080	0.54	OK
F2 (8)	Ss-1	EW	104	168	928	832	0.21	OK

*1：設計で考慮するアンカーボルトの本数

2) 南側外壁位置の検討

作用応力と許容耐力を比較した結果を表 2.3.2-7 に示す。

検討の結果、全ての応力度比が1以下になることを確認した。

表 2.3.2-7 南側外壁位置の検討結果

検討箇所 方向 (アンカー本数)*1	地震波	入力 方向	作用応力		許容耐力		応力度比	判定
			引抜力 P (kN)	せん断力 Q (kN)	短期 許容引張力 pa (kN)	短期 許容せん断力 qa (kN)		
F3 NS 方向 (引張 24) (せん断 99)	Ss-1	NS	1568	3214	2448	11484	0.65	OK
F3 EW 方向 (引張 15) (せん断 99)	Ss-1	EW	863	5793	1530	11484	0.57	OK

*1：設計で考慮するアンカーボルトの本数。アンカーボルトは引張に抵抗するものとせん断に抵抗するものをそれぞれ設定した

(5) 原子炉建屋の耐震性に対する検討

1) 検討方針

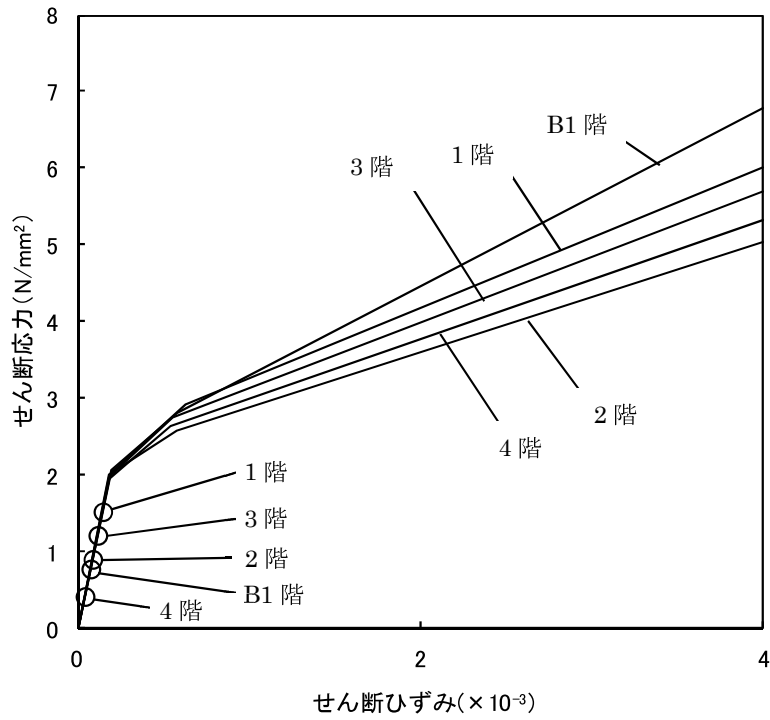
燃料取扱機支持用架構の設置に伴う原子炉建屋の耐震性の評価は、耐震安全上重要な設備への波及的影響防止の観点から、地震応答解析により得られる耐震壁のせん断ひずみが鉄筋コンクリート造耐震壁の終局限界に対応した評価基準値 (4.0×10^{-3}) 以下になることを確認する。

ここで、耐震壁のせん断ひずみは、「(2)原子炉建屋の地震応答解析」で実施した地震応答解析結果の値とする。

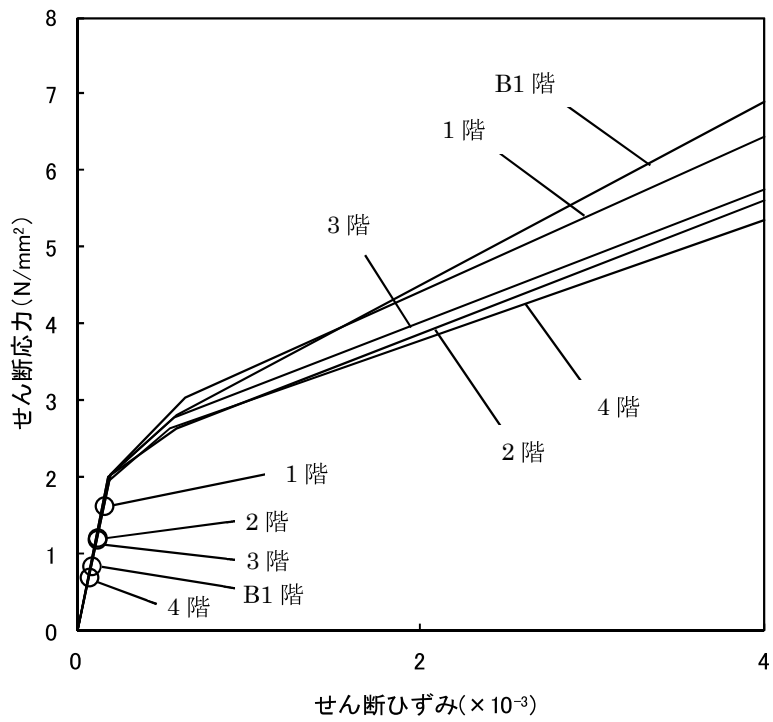
2) 検討結果

基準地震動 S_s に対する最大応答値を、「JEAG 4601-1991」に基づき設定した耐震壁のせん断スケルトン曲線上にプロットした結果を、図 2.3.2-5 から図 2.3.2-7 に示す。

検討の結果、地震応答解析により得られる最大応答値は、評価基準値 (4.0×10^{-3}) に対して十分に余裕があることを確認した。



(a) NS 方向



(b) EW 方向

図 2.3.2-5 せん断スケルトン曲線上の最大応答値 (S_s-1)

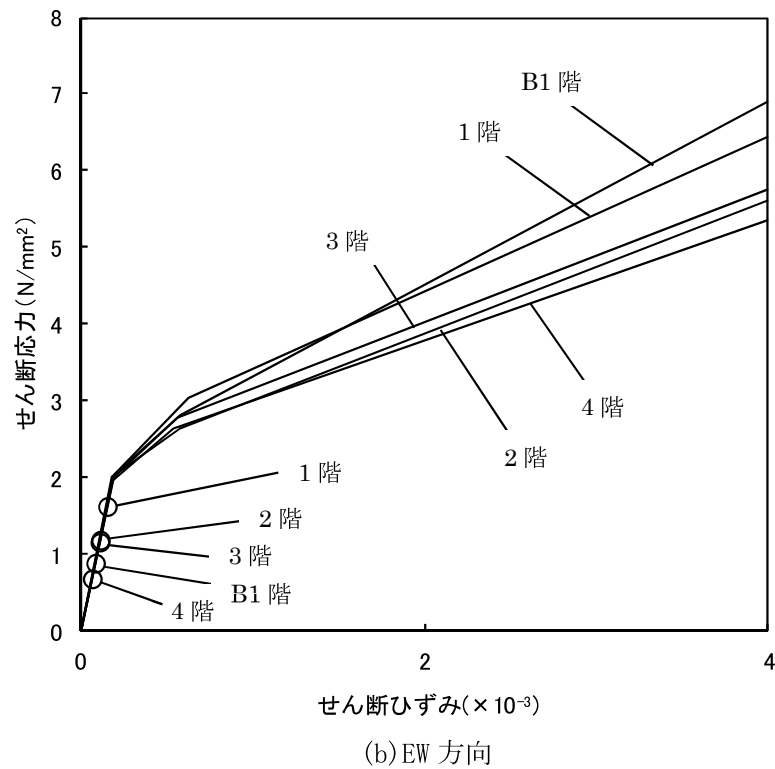
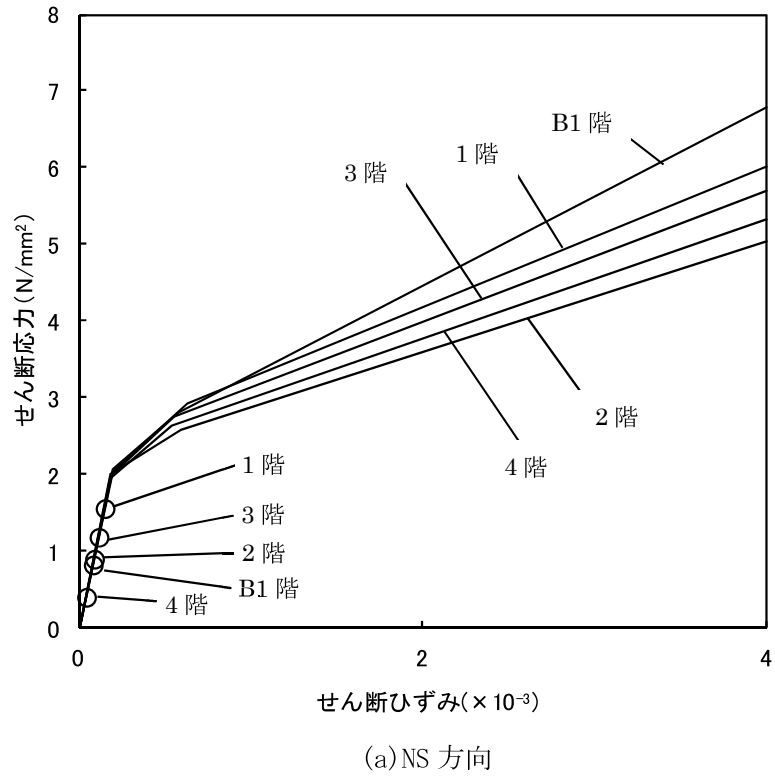
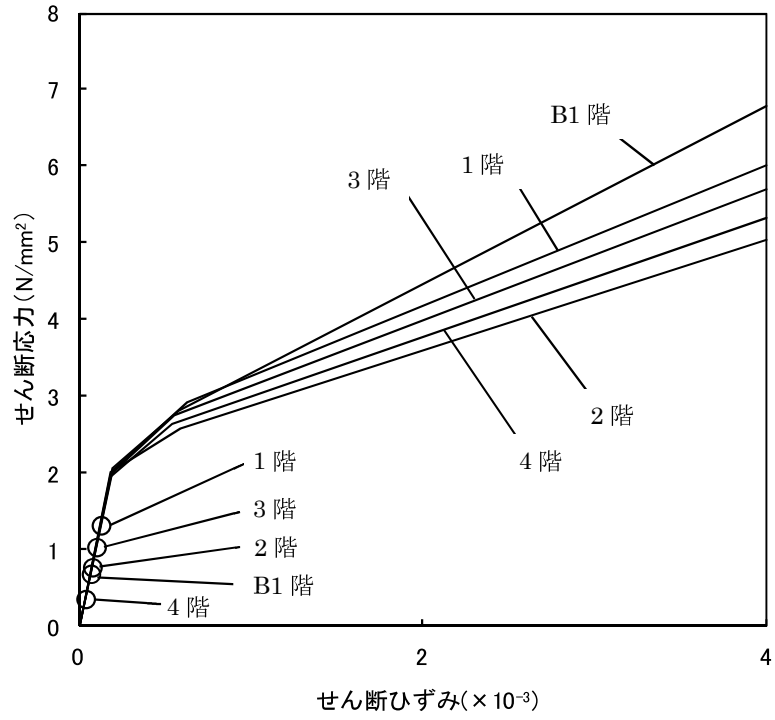
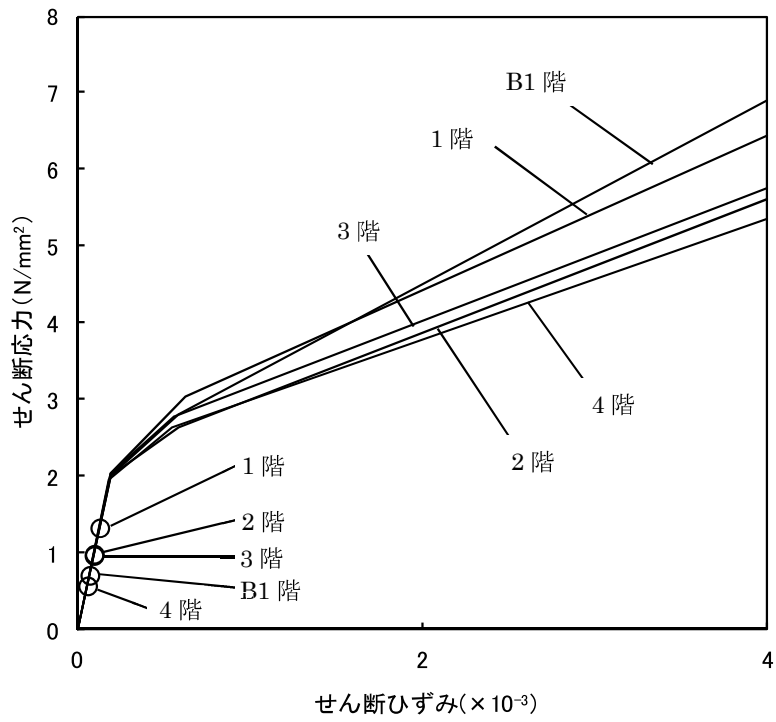


図 2.3.2-6 せん断スケルトン曲線上の最大応答値 (Ss-2)



(a) NS 方向



(b) EW 方向

図 2.3.2-7 せん断スケルトン曲線上の最大応答値 (Ss-3)

3. 3号機燃料取り出し用カバーの構造強度及び耐震性について

3.1 概要

3.1.1 一般事項

3号機燃料取り出し用カバーは、使用済燃料プールを覆う構造としており、燃料取扱設備（燃料取扱機及びクレーン）を支持するドーム状の屋根を有した門型架構であり、構造強度と耐震性について検討を行う。なお、耐震設計上の重要度分類は、燃料取扱設備の間接支持構造物としてBクラス相当とする。

架構の構造強度は一次設計に対応した許容応力度設計を実施し、耐震性は基準地震動 S_s に対する地震応答解析を実施し、架構の損傷が原子炉建屋、使用済燃料プール及び使用済燃料ラックに波及的影響を及ぼさないことを確認する。ここで、波及的影響の確認は、架構が崩壊機構に至らないことを確認する。図 3.1.1-1 に燃料取り出し用カバーのイメージを示す。

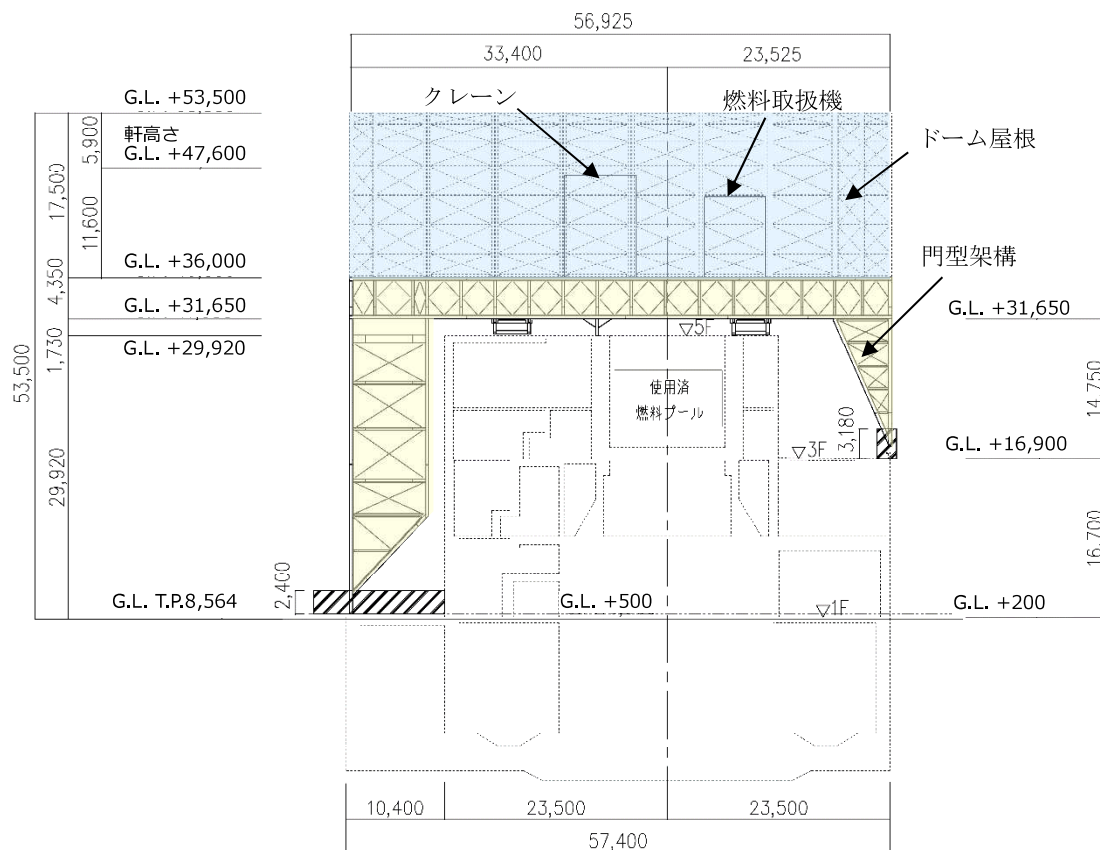


図 3.1.1-1 燃料取り出し用カバーのイメージ (単位 : mm)

本章に記載の標高は、震災後の地盤沈下量(-709mm)と O.P.から T.P.への読替値(-727mm)を用いて、下式に基づき換算している。
 <換算式> T.P.=旧 O.P.-1.436mm

燃料取り出し用カバーの検討は原則として下記の法規及び基規準類に準拠して行う。

- (1) 建築基準法・同施行令及び関連告示
- (2) 原子力施設鉄筋コンクリート構造計算規準・同解説（日本建築学会，2005 制定）
- (3) 鉄筋コンクリート構造計算規準・同解説（日本建築学会，2010 改定）
- (4) 鋼構造設計規準（日本建築学会，2005 改定）
- (5) 2007 年版 建築物の構造関係技術基準解説書(国土交通省住宅局建築指導課・国土交通省
国土技術政策総合研究所・独立行政法人建築研究所・日本建築行政会議，2007 刊行)
- (6) 鋼構造塑性設計指針（日本建築学会，2010 改定）
- (7) 現場打ち同型等プレキャスト鉄筋コンクリート構造設計指針(案)・同解説(2002)
（日本建築学会，2002 制定）
- (8) プレストレストコンクリート設計施工規準・同解説（日本建築学会，1998 改定）

また，原子力施設の設計において参照される下記の指針及び規程を参考にして検討を行う。

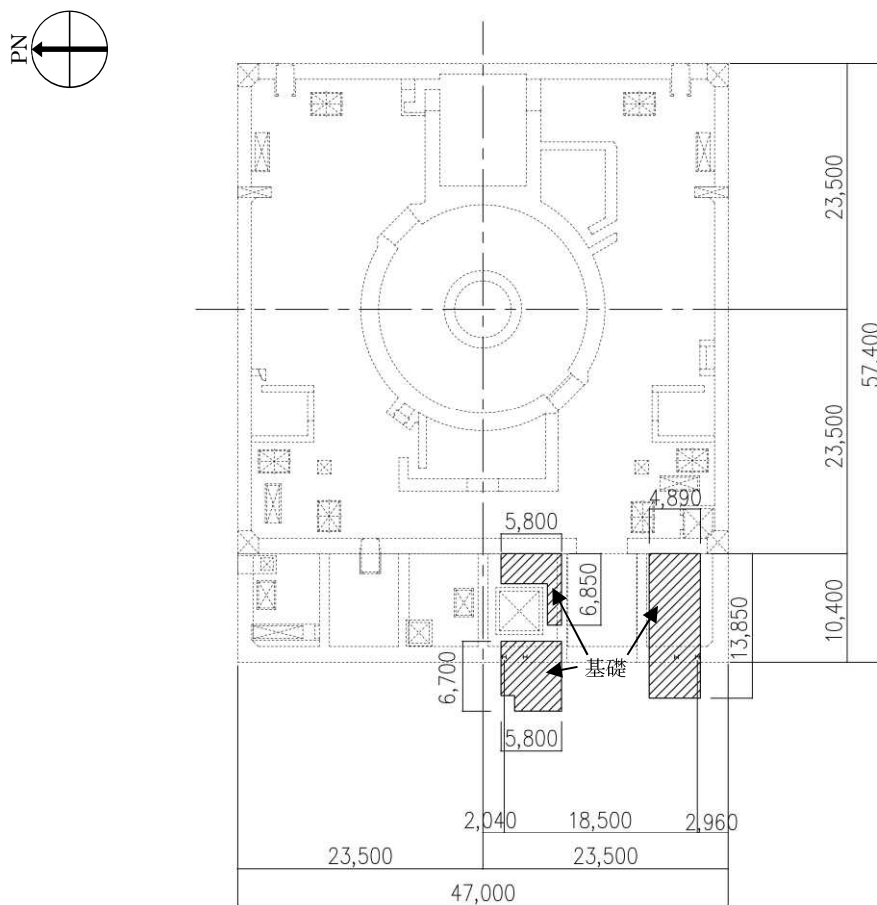
- (1) 原子力発電所耐震設計技術指針(JEAG 4601-1987)（日本電気協会 電気技術基準調査委員会，
昭和 62 年 8 月 改訂）
- (2) 原子力発電所耐震設計技術指針(JEAG 4601-1991 追補版)（日本電気協会 電気技術基準調査
委員会，平成 3 年 6 月 発刊）
- (3) 原子力発電所耐震設計技術規程(JEAC 4601-2008)（日本電気協会 原子力規格委員会，平成
20 年 12 月 改定）

3.1.2 構造概要

燃料取り出し用カバーは燃料取扱設備を支持する架構で、南北方向に 18.50m、東西方向に 56.925m、地盤面からの高さが 53.50m のドーム状屋根を設けた門型の架構である。構造形式はトラス構造で、構造種別は鉄骨造である。

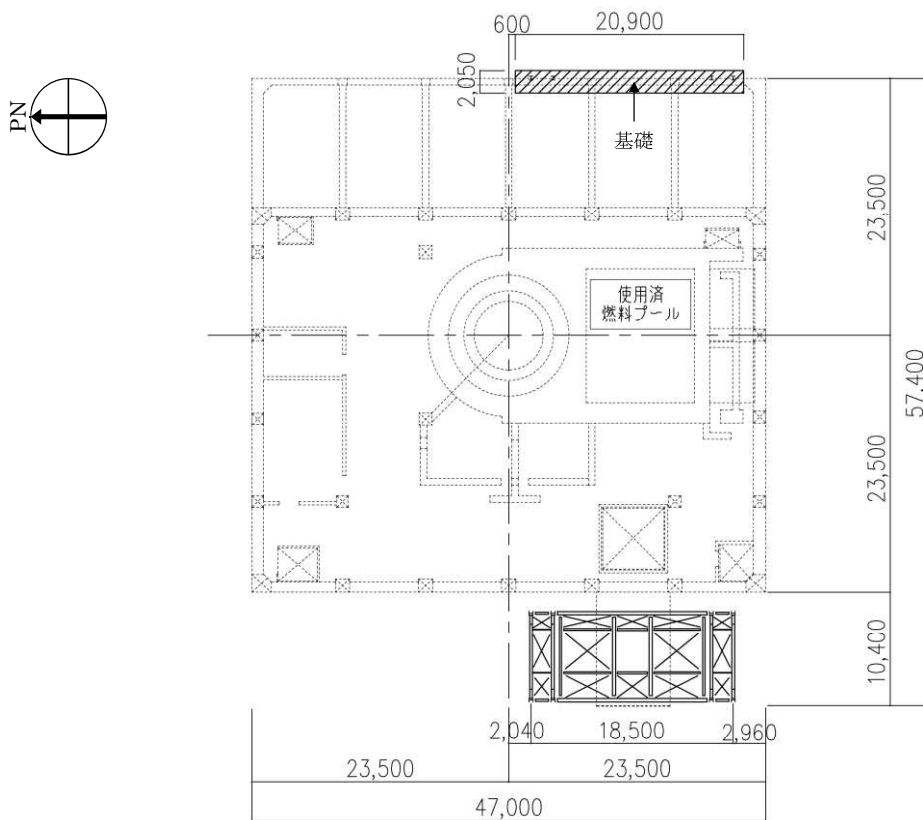
燃料取り出し用カバーは、原子炉建屋の 1 階、3 階及び 5 階に支持される構造である。なお、5 階の原子炉建屋躯体支持点においては、水平振れ止め装置（ストップ）及び鉛直方向の制震装置（オイルダンパ）を用いる。

燃料取り出し用カバーの概要を図 3.1.2-1～図 3.1.2-5 に示す。



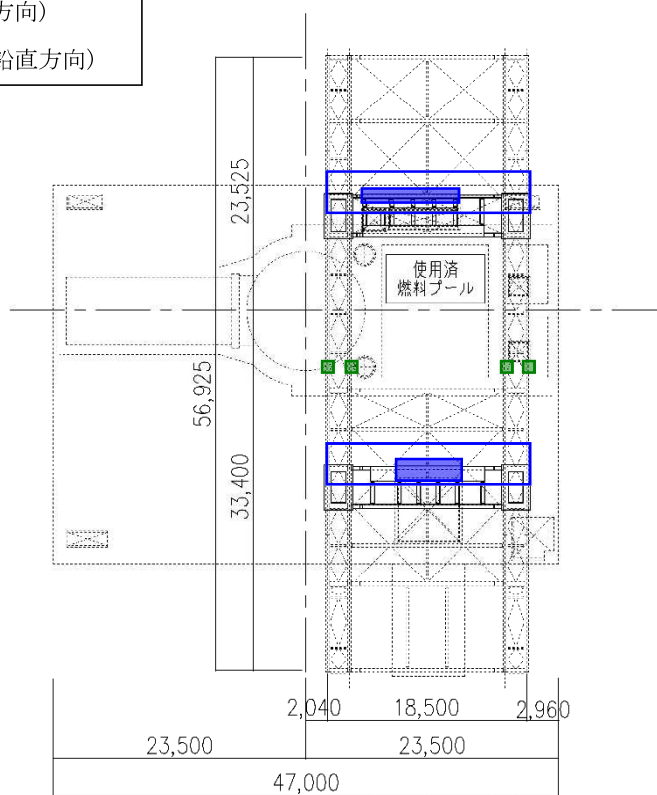
(a) 基礎伏図 (G. L. +500 原子炉建屋 1 階レベル+300mm)

図 3.1.2-1 燃料取り出し用カバーの概要 (単位 : mm)



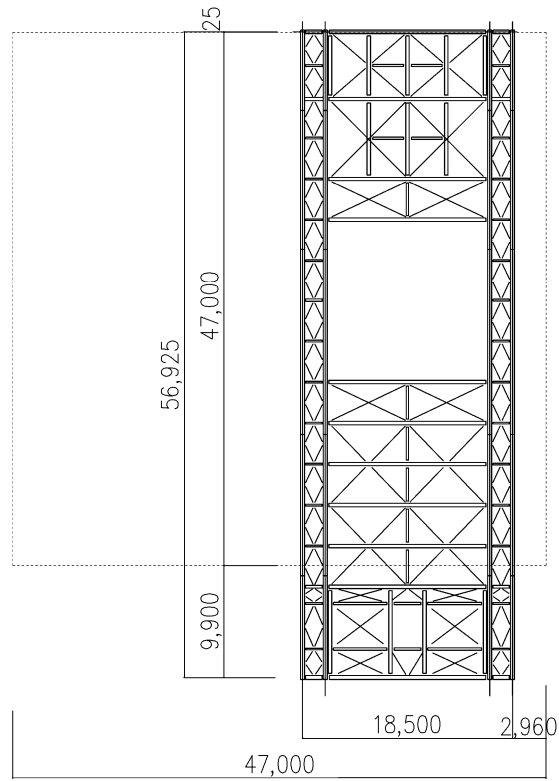
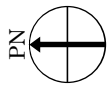
(a) 基礎伏図 (G. L. +16, 900 原子炉建屋 3 階)

- ストッパ(水平方向)
- オイルダンパ(鉛直方向)

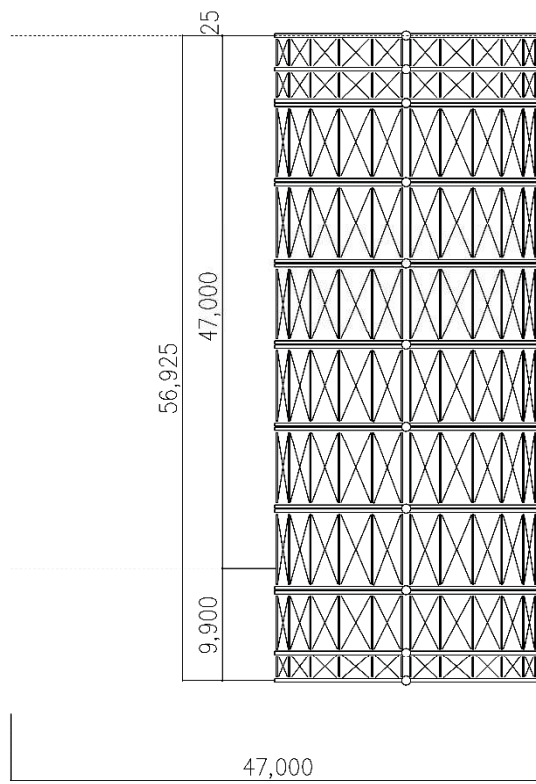


(b) 梁伏図 (G. L. +29, 920 原子炉建屋 5 階)

図 3. 1. 2-2 燃料取り出し用カバーの概要 (単位 : mm)

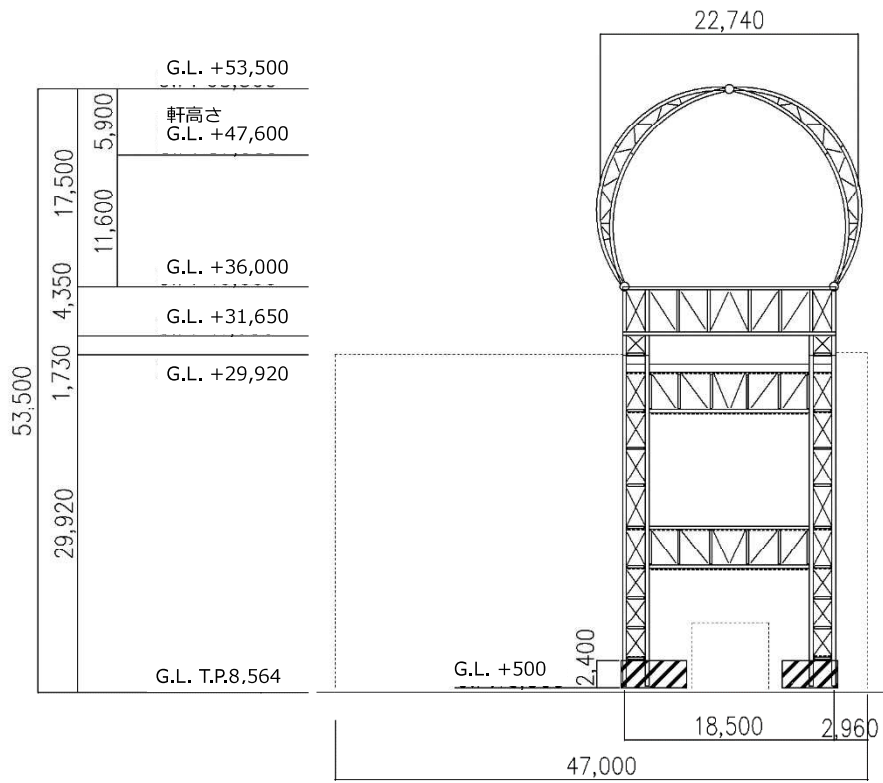


(a) 架構ガーダー部平面図 (G. L. +36, 000)

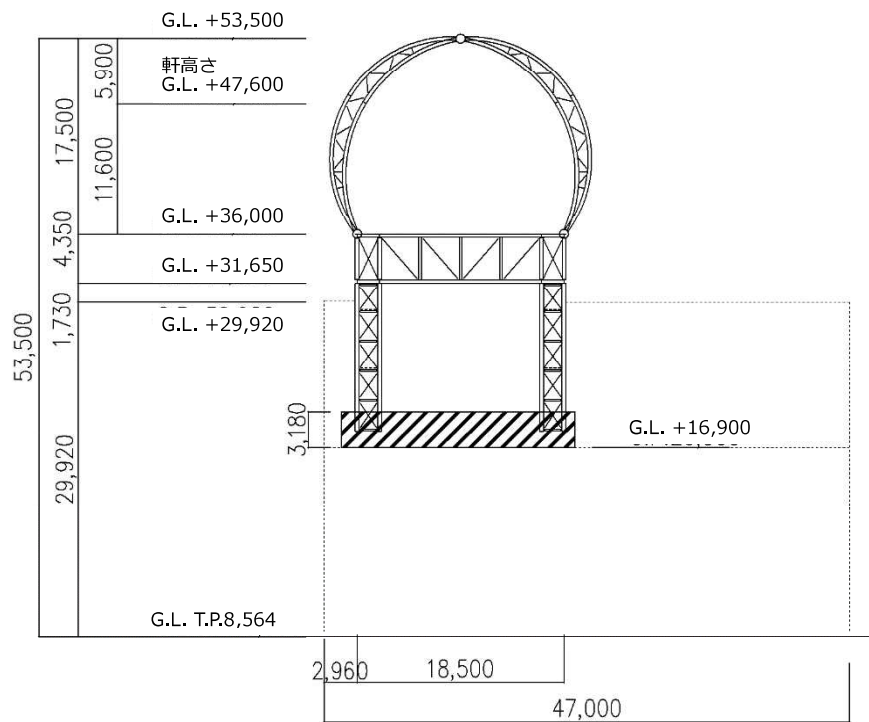


(b) 屋根伏図

図 3. 1. 2-3 燃料取り出し用カバーの概要 (単位 : mm)



(a) 西軸組図



(b) 東軸組図

図 3.1.2-4 燃料取り出し用カバーの概要 (単位: mm)